



## زمین‌شناسی، کانی‌سازی، سن‌سنگی U-Pb و ژئوشیمی ایزوتوب‌های Sr-Nd توده‌های نفوذی شمال‌شرق کاشمر

علیرضا الماسی<sup>۱</sup>، محمدحسن کریمپور<sup>۱\*</sup>، خسرو ابراهیمی نصرآبادی<sup>۱</sup>، بهنام رحیمی<sup>۱</sup>، اورس کلوتزلی<sup>۲</sup> و ژوزه فرانسیسکو سانتوز<sup>۳</sup>

(۱) گروه زمین‌شناسی، دانشگاه فردوسی مشهد، مشهد، ایران

(۲) گروه زمین‌شناسی، دانشگاه وین، اتریش

(۳) گروه زمین‌شناسی، دانشگاه آویرو، پرتغال

دریافت: 1393/10/2، پذیرش: 1394/2/19

### چکیده

محدوده مطالعاتی در 30 کیلومتری شمال‌شرق کاشمر قرار دارد. براساس سن‌سنگی زیرکن توده‌های نفوذی نوع I (سن 40 میلیون سال)، در زمان ائوسن و در پاسخ به فشارش ناحیه‌ای، حرکات امتدادلغز چپ‌گرد گسلهای درونه و تکسار سبب رخداد زون بررشی، حوضه pull-apart و شکستگیهای رidel شده که شرایط را برای صعود ماگما و محلول گرمایی مهیا کرده است. طی تکامل ساختاری منطقه، چند ضربان ماگمایی کالکوآلکالن تا آکالان پتابسیم بالا تا شوشوونیتی نوع I و یک پالس نوع A در منطقه نفوذ کرده است. مقادیر اولیه  $^{87}\text{Sr}/^{86}\text{Sr}$  (0/5125-0/5126) و  $^{143}\text{Nd}/^{144}\text{Nd}$  (0/705-0/706) برای سری I، منشأ پوسته قاره‌ای با دخلت گوشه در (فرورانش) را نشان می‌دهد. ماگمای عامل دسته دایک‌های کوارتزمنزونیتی جدید نوع I، سبب دگرسانیها و کانی‌سازی IOCG در منطقه شده است. دو مرحله چرخش محلول گرمابی اکسیدان آهن‌دار سبب دگرسانیهای آرژیلیک پیشرفت، سرسیتی، سیلیسی، اکسیدآهن، کربناتی، اپیدوتی و کلریتی و کانی‌سازی رگهای سولفید فلزات پایه و رگهای IOCG غنی از اسپکیولاریت در منطقه شده است.

واژه‌های کلیدی: زون بررشی، ماگماتیسم نوع I و A، سن‌سنگی U-Pb، ایزوتوب‌های Sr-Nd، IOCG، فرورانش.

مقدمه

شمال لوت تحت تأثیر فرآیندهای (Alaminia et al., 2013) تکتونیکی چرخش لوت و فرورانش شرق ایران قرار گرفته است (Tirrul et al., 1983; Camp and Griffis, 1983). ماگماتیسم لوت از ژوراسیک به بعد آغاز شده و در ترشیاری (ئوسن) به اوج خود رسیده است (Aghanabati, 1995). در شمال لوت، راست‌گرد بودن گسل تکnar در شمال و چپ‌گرد بودن گسل درونه در جنوب، سبب رخداد سامانه زون بررشی ساده بین آنها شده است (Muller, 1983 and Walter, 1983). پژوهش‌های اخیر بر روی ماگماتیسم و کانی‌سازیهای پورفیری شمال، شمال‌شرق و شرق ایران (Malekzadeh shafaroudi and Karimpour, 2011;

محدوده مطالعاتی در 30 کیلومتری شمال‌شرق شهرستان کاشمر در استان خراسان رضوی، در بین طولهای جغرافیایی  $32^{\circ}58'58''$  شرقی و عرضهای جغرافیایی  $35^{\circ}15'23''$  شمالی قرار دارد. براساس نقشه زمین‌شناسی کلی شمال‌شرق ایران (شکل 1)، منطقه در مرکز کمربند آتشفشاری - نفوذی خواف - کاشمر - بردسکن شمال بلوك لوت سبزوار واقع شده است. با توجه به ویژگیهای ماگماتیسم زون‌های البرز و سبزوار به عنوان حوضه‌های پشت کمان Asiabanha and Foden, 2012; نئوتیس معرفی شده‌اند (

گرفت. ترکیبات ایزوتوبی با محاسبه خطای میانگین ۲۵ بدست آمد.

۵- تجزیه ۵ نمونه از توده‌های نفوذی کم دگرسان نوع I منطقه برای ایزوتوب‌های Rb-Sr و Sm-Nd. ترکیبات ایزوتوبی Sr و Nd برای این نمونه‌ها در آزمایشگاه ایزوتوبی آویرو کشور پرتابل تشخیص داده شد. نمونه‌ها در هاون آگاتی پودر شدند. نمونه‌های پودرشده در محلول  $\text{HF}/\text{HNO}_3$  در مخزن‌های اسید Teflon Parr در دمای ۲۰۰ درجه سانتی‌گراد به مدت ۳ روز حل شدند. پس از تبخیر محلول نهایی، نمونه‌ها در HCl (۶ نرمال) حل و خشک شدند. عناصر برای تجزیه با استفاده از تکنیک کروماتوگرافی یون متعارف در دو مرحله خالص شد؛ جدایش Sr و عناصر REE در ستون تبادل یونی با رزین تبادل کاتیونی AG8 50 W Bio-Rad و خالص‌سازی Ln از دیگر لاتانیدها در ستونها با رزین تبادل کاتیون Nd از دیگر لاتانیدها (ElChrom Resin) صورت گرفت. همه واکنش‌گرها (معرفها)ی که در جدایش نمونه‌ها استفاده شد از تقطیر زیر نقطه جوش بدست آمده و آب توسط یک دستگاه عنصر Millipore (Millipore) حاصل شد. Sr در یک تکرشته Ta با  $\text{H}_3\text{PO}_4$  ذخیره شد، اما Nd در بخش خارجی رشته Ta با HCl در یک آرایش رشته سه‌گانه ذخیره شد. نسبتها ایزوتوبی  $^{87}\text{Sr}/^{86}\text{Sr}$  و  $^{143}\text{Nd}/^{144}\text{Nd}$  با استفاده از Multi-collector Thermal Ionization Mass Spectrometer (TIMS) VG Sector 54 داده شد. داده‌ها به شیوه دینامیک با اندازه‌گیریهای نوک  $^{144}\text{Nd}$  برای  $^{88}\text{Sr}$  و  $^{144}\text{Nd}$  در V-1/5-0/8-1-2 (peak) به دست آمد. نسبتها ایزوتوبی Sr و Nd برای تفکیک جرمی  $^{146}\text{Nd}/^{144}\text{Nd} = 0.7219$  و  $^{88}\text{Sr}/^{86}\text{Sr} = 0.1194$  نسبت به  $^{87}\text{Sr}/^{86}\text{Sr} = 0.710256(16)$  (N = 12) مقدار میانگین  $^{143}\text{Nd}/^{144}\text{Nd} = 0.5121057(61)$  و conf. lim = 95% (N = 13; conf. lim = 95%) JNd-1 در استاندارد La Jolla نرمالیزه (داده‌های  $^{143}\text{Nd}/^{144}\text{Nd}$  با استاندارد U-Pb در زیرکن بر روی توده شدن) را داد. غلظتها ایزوتوبی عنصری سنگها با اضافه کردن Spike را در نمونه‌ها با روش طیفسنجی جرمی رقیق‌سازی ایزوتوب (IDMS) تشخیص داده شد. در نهایت ترکیبات ایزوتوب Sm-Nd و Rb-Sr (با محاسبه خطای میانگین ۲۵) بدست آمد.

Arjmandzadeh et al., 2011; Karimpour et al., 2012, Salati et al., 2012; Golmohammadi et al., 2013; Karimpour et al., 2013; Abdi and Karimpour, 2012 (Karimpour, 2012) نشان داده که این ناحیه از کشورمان از زمان ژوراسیک تا الیگومیوسن دستخوش رخدادهای فرورانش و تصادم مختلف و به تبع آن ضربانهای ماقمایی I و S/I/A-I ای بوده که کانی‌سازیهای پلی‌متال مانند ذخایر پورفیری آن با سری I و کانی‌سازهای احتمالی قلع با سری S همراه بوده‌اند. (Karimpour, 2006) زون شمال بلوك لوت توسط کریمپور IOCNG به عنوان کمربند IOCNG معروف شده و تاکنون ذخایر IOCNG مهمی چون تنورجه و کوهز (Karimpour, 2006; Mazloomi Bajestani, 2009) در مرکز این کمربند (مجاورت محدوده مطالعاتی) و اسکارن بزرگ آهن سنگان (Karimpour, 2006; Boomeri, 1998) در آن معروف شده است (شکل ۱). پیش از این سلطانی (Soltani, 2000) گرانیت‌های کاشمر را از نوع I معرفی کرده بود. در این مقاله، ما ماقماییسم نوع I و A و کانی‌سازی IOCNG را در کاشمر معرفی کرده و آن را به فرورانش نئوتیس در اؤسن نسبت داده و نشان می‌دهیم که ویژگیهای زمین‌شناسی، دگرسانی و کانی‌سازی در کاشمر، مشابه با زون‌های موازی پشت کمان سنوزوئیک در شیلی و پرو است.

### روش مطالعه

۱- ادغام و پردازش تصاویر ماهواره‌ای ۷<sup>+</sup> (IRS Lansat) با قدرت تفکیک ۵ متر) و استفاده از تصاویر کیفیت بالای google earth برای تشخیص واحدهای سنگی، گسلها و شکستگیهای اصلی و فرعی مهم، برای تهیه نقشه زمین‌شناسی و ساختاری و پردازش تصاویر ماهواره‌ای آستر برای دگرسانی.

۲- مطالعه ۱۵۰ مقطع نازک از توده‌های نفوذی سطحی به منظور مطالعات پتروگرافی و دگرسانی.

۳- اندازه‌گیری پذیرفتاری مغناطیسی توده‌های نفوذی با دستگاه مدل GMS2 ساخت شرکت سینترکس کانادا (با دقت  $1 \times 10^{-5}$  SI).

۴- آماده‌سازی و سن‌سنجی U-Pb در زیرکن بر روی توده هورنبلند بیوتیت کوارتزمونزودیوریت/مونزونیت نوع I با استفاده از روش Laser-Ablation multi collector ICP-MS، در آزمایشگاه سن‌سنجی دانشگاه وین اتریش صورت

- 1- سنگهای آتشفسانی با ترکیب عمده‌تاً بازالت- آندزیت- داسیت- توف- آذراواری که در سرتاسر منطقه خصوصاً در نیمه شمالی گسترش دارند.
- 2- توده‌ها و استوک‌های متوسط تا کوچک مافیک- حدواسط با ترکیب گابرو، دیوریت، کوارتز مونزودیوریت، مونزونیت.
- 3- توده‌های اسیدی تا حدواسط از گرانیت‌ویید (با طیفی از گرانودیوریت، مونزوگرانیت تا آلکالی‌گرانیت) تا سنگهای حدواسط کوارتزمونزونیت- مونزونیت که بر اثر فرسایش واحدهای آتشفسانی در بخش‌های جنوبی منطقه، رخمنون وسیع یافته‌اند. آنکلاوهای میکروگرانولار به صورت لخته‌های مافیک و/یا تجمع بلورهای هورنبلنده (ترکیب هورنبلنده دیوریت) به رنگ سبز در متن سنگ دیده می‌شوند. بیشترین رخمنون مربوط به گرانودیوریت، گرانیت و آلکالی‌گرانیت است.
- 4- توده آلکالی‌گرانیت و دایک آپلیتی جوانتر از مجموعه 1 و 2 که به طور مشخص با روند شمال‌شرقی- جنوب‌غربی در منطقه نفوذ کرده‌است. آلکالی‌گرانیت فاقد آنکلاو است.
- 5- دسته دایک‌های موازی کوارتز مونزودیوریتی با روند شمال‌غربی- جنوب‌شرقی. به استثنای دسته دایک‌ها، همه واحدها متحمل دگرسانی شده‌اند. دسته‌دایک‌ها بیانگر توده ماقمایی مافیک سردشده در عمق می‌باشند که عامل دگرسانی نیز محسوب می‌شوند.
- براساس اندازه‌گیری پذیرفتاری مغناطیسی، توده‌های مافیک حساسیت مغناطیسی از 559 تا  $10^{-5}$  (SI)  $\times$  4354 و گرانیت‌وییدها از 2 تا  $10^{-5}$  (SI)  $\times$  1654 نشان می‌دهند. مقدار حساسیت مغناطیسی آلکالی‌گرانیت از 3 تا  $10^{-5}$  (SI)  $\times$  305 و 225 و دایک آپلیتی بیوتیت آلکالی‌گرانیت (SI)  $\times$  10-5 است. دسته دایک‌های کوارتز مونزودیوریتی حساسیت مغناطیسی (SI)  $\times$  10-5  $\times$  1068 دارند. بر این اساس توده‌های مافیک، گرانیت‌وییدها و دسته دایک‌های موازی ویژگی اکسیدان (سری مگنتیتی) دارند. آلکالی‌گرانیت و آپلیت ویژگی احیایی (سری ایلمنیتی) از خود نشان می‌دهند. مطالعات ژئوشیمی توده‌های نفوذی منطقه، ماهیت کالکوآلکالن تا آلکالن پتانسیم بالا تا شوشوونیتی همگی آنها را معلوم ساخته است (Almasi, 2015).

مطالعات ساختاری بر روی تصاویر ماهواره‌ای و بررسیهای صحرایی نشان می‌دهد، که توده آلکالی‌گرانیت A با دو روند

6- مطالعات مینرالوگرافی و تعیین پاراژنز کانیایی از رگه‌های سیلیسی کانه‌دار.

7- برداشت، آماده‌سازی 28 نمونه ژئوشیمیایی به روش خردسنجی از رگه‌های سیلیسی کانه‌دار و تجزیه در آزمایشگاه ACME کانادا به روش ICP-MS و ذوب قلیایی. نمونه‌های از رگه‌های کوارتز دارای کانی‌سازی فلزات پایه، اسپکیولاریت، باریت و منگنز برداشت شد. در این روش به تناسب تغییرات کانی‌شناسی فلزی در طول و عرض رگه، به‌طور میانگین دو کیلوگرم نمونه برداشت شد. پس از پودر کردن نمونه، با استفاده از مقسام دویست گرم نمونه جداسازی و ارسال شد.

8- تهیه نقشه‌های رقومی زمین‌شناسی، دگرسانی و کانی‌سازی با مقیاس 1:20000.

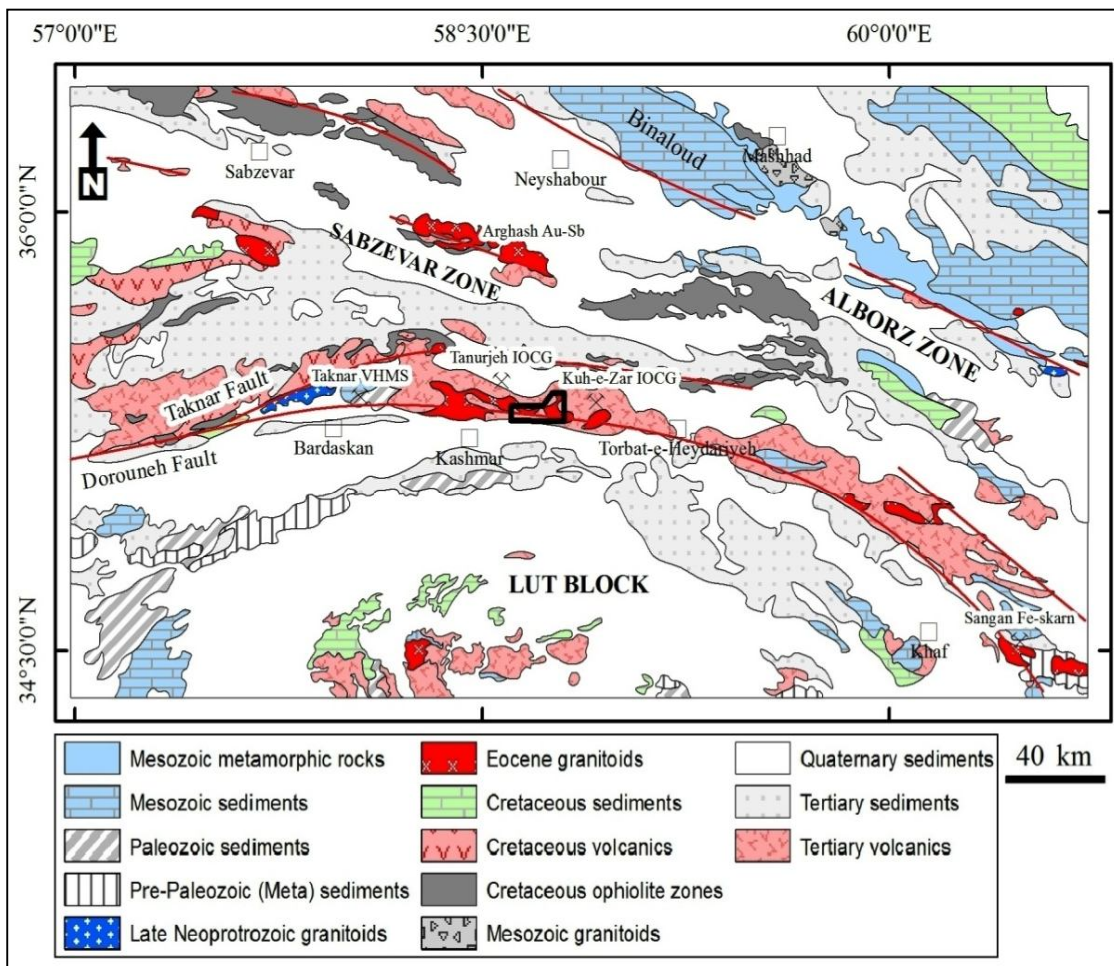
#### مطالعات ساختاری و زمین‌شناسی

براساس مطالعات ساختاری ناحیه‌ای و منطقه‌ای پیشین (Muller and Walter, 1983; Haji, 2009) و جدید (Almasi, 2015) بر روی این منطقه، نحوه عملکرد دو گسل اصلی درونه و تکنار سبب شده، تا راستای محور ۵۱ (تنش میانگین ناحیه‌ای) شمال‌شرقی- جنوب‌غربی باشد و زون برشی ایجاد شود (شکل 2). در محیط شکننده، تغییرات تنش با گذر زمان سبب ایجاد و تغییرات درونی در زون‌های برشی می‌شود. با استفاده از مطالعات ساختاری پایه بر روی تصاویر ماهواره‌ای در این مقاله و مقایسه با نتایج آزمایشگاهی محققان (Price and Cosgrove, 1990; Tchalenko and Braud, 1974) مشخص شد که طی گذشت زمان و تکامل تکتونیکی ناحیه، ساختار pull-apart و انواع شکستگیهای برشی- کششی نوع ریدل (R, R' و P) در محدوده مطالعاتی توسعه یافته که نشان از بلوغ تکتونیکی منطقه است (شکلهای 2 و 3). این حالت سبب صعود ماقما و محلولهای گرمابی شده است. در منطقه کاشمر، کنترل حوادث ماقمایی- گرمایی و کانی‌سازی با این ساختارها به خوبی قابل اثبات است.

برپایه مطالعات صحرایی (روابط قطع شدگی) و ویژگی نمونه‌های دستی و آزمایشگاهی و نقشه زمین‌شناسی تهیه شده (شکل 4)، می‌توان واحدهای سنگی منطقه کاشمر را از قدیم به جدید به پنج بخش تقسیم کرد:

شکلهای 2 و 4). با توجه به این که شکستگی‌های P بعد از کشش (T) تشکیل می‌شوند، انتظار می‌رفت که دسته دایک‌ها، جوانتر از آلکالی‌گرانیت A باشند و آنرا قطع کرده باشند. مطالعات صحرایی و نقشه زمین‌شناسی مؤید این مطلب است.

هم‌جهت مشخص در راستای کشش (T) در شکل 2 موازی شکستگی‌های ریدل نوع R با زاویه  $45^{\circ}$  شمال شرقی - جنوب-غربی و دسته‌دایک‌های موازی در راستای شکستگی برشی نوع P (جهت شمال غربی - جنوب شرقی) نفوذ کرده‌اند (مقایسه



شکل ۱. نقشه کلی زمین‌شناسی شمال شرق ایران (برگرفته از نقشه‌های زمین‌شناسی با مقیاس‌های مختلف (Sahandi and Hosseini, 1990; Eftekharnezhad et al., 1974; Vaezipour et al., 1993; Afsharharb et al., 1987; Naderi Mighan and Torshizian, 1999; Behroozi, 1988)). برخی از مهمترین ذخایر معدنی این قسمت از کشور در نقشه آمده است. محدوده مطالعاتی در شمال شرق کاشمر که با کادر سیاه مشخص شده، در کنタکت بلافصل گسل درونه در شمال بلوك لوت و جنوب زون‌های البرز و سبزوار، بين ذخایر IOCG تورجه و کوهز واقع شده است.

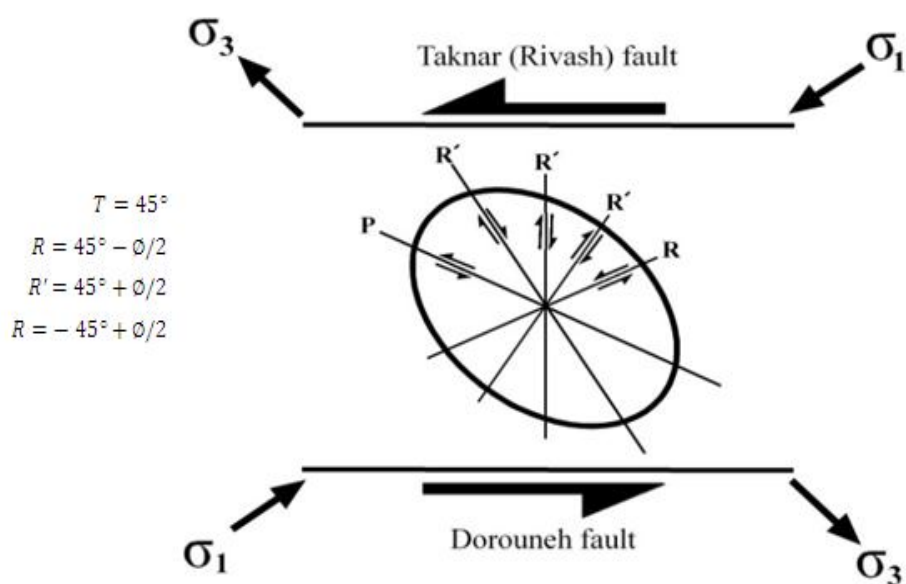
**Fig. 1.** General geological map of NE Iran (Compiled from geological maps in different scales (Sahandi and Hosseini, 1990; Eftekharnezhad et al., 1974; Vaezipour et al., 1993; Afsharharb et al., 1987; Naderi Mighan and Torshizian, 1999; Behroozi, 1988)). Some of the most important ore deposits are shown in the map. The study area shown in northeast of Kashmar city by black frame, at contact of Dorouneh fault in north of Lut block and south of Alborz and Sabzevar zones, is located between Koh e Zar and Tanourjeh IOCG deposits.

با ساختار شکنا، ایجاد ارتباط بین ساختارها و مهاجرت محلول گرمابی ملموس‌تر است. درک این مسائل به انجام مطالعات دگرسانی و کانی‌سازی مؤثرت، کمک شایانی می‌کند. کانولی و

نحوه مهاجرت محلول گرمابی، دگرسانی و کانی‌سازی در انتقال محلولهای گرمابی کانهدار، ساختارهای (گسلها و شکستگی‌ها) یک منطقه نقش اصلی را ایفا می‌کنند. در مناطق

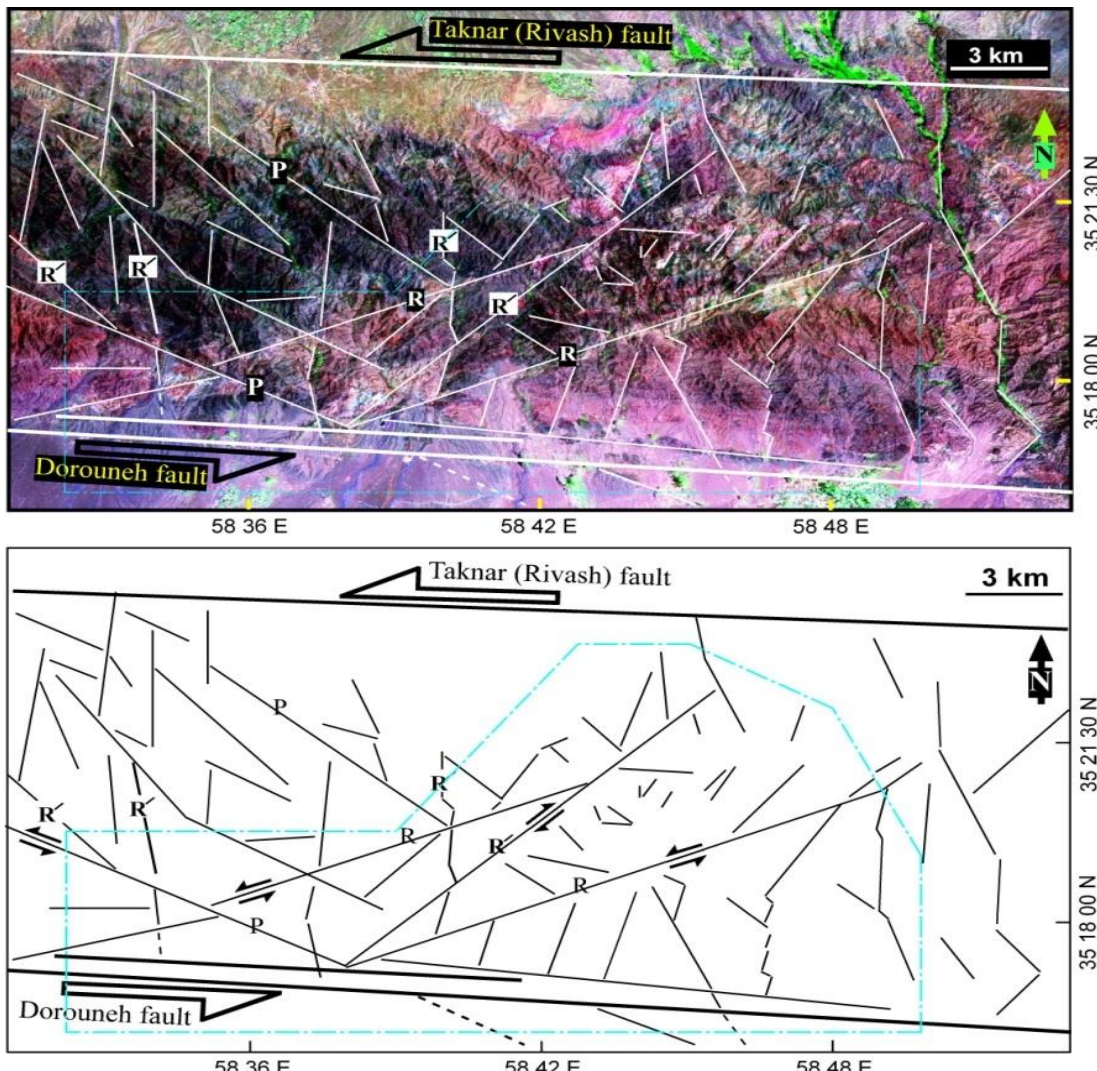
تصاویر آستر و مطالعه مقاطع میکروسکوپی، نقشه دگرسانی منطقه تهیه شد (شکل 7). براساس تقدم و تأخیر نسبت به همدیگر، دگرسانی در کاشمر به صورت دو دگرسانی اصلی شامل: دگرسانی اولیه آرژیلیک پیشرفت + سرسیتی + سیلیسی (K-Si) و دگرسانی تأخیری کربناتی - اکسید آهن - سیلیسی - اپیدوتی - کلریتی - سرسیتی - باریت-(Ca-Fe-Si-K) (Ba-K) قابل توصیف است. تمرکز دگرسانی اولیه در مجاورت گسل اصلی درونه و تلاقی آن با گسلهای فرعی (بهاریه، اوج-پلنگ و سرسفیدال) است (شکل 7). کلاهکهای سیلیسی و زون آرژیلیک پیشرفت و متوسط در بهاریه، سرسفیدال و اوج-پلنگ به خوبی گسترش دارند. دگرسانی تأخیری در ارتفاعات کمرمرد مرکز است (شکل 7). تورمالین به صورت شعاعی و گاه همراه با کلریت، در برخی از شکستگیهای درون گرانیت-های نوار جنوبی منطقه دیده می‌شود. مظلومی بجستانی (Mazloomi Bajestani, 2009) با مطالعه بر روی این تورمالین‌ها در منطقه سرسفیدال آن را از نوع دمورتیریت معرفی کرده است.

کاسگرو (Connolly and Cosgrove, 1999) آزمایش‌های مختلفی برای بدست آوردن مدلی برای پیش‌بینی مهاجرت محلول گرمابی در یک زون برشی انجام دادند. آنها ادعا کردند که با افزایش تنش فشارشی ناحیه‌ای در زون‌های برشی، بیشترین مهاجرت محلول گرمابی از طریق گسل اصلی و در امتداد آن به صورت جانبی صورت می‌گیرد و بهترین محل برای به تله افتادن محلول، نقاط تلاقی گسل اصلی با گسلهای فرعی است. با مقایسه و تعمیم نتایج این آزمایش‌های به ساختارها و شکستگیهای برشی موجود در محدوده مطالعاتی، نحوه مهاجرت محلول در کاشمر به صورت شکل 5 به دست آمد. براین اساس، محلول گرمابی در امتداد گسل اصلی درونه حرکت کرده و در محل تقاطع آن با شکستگیهای فرعی نوع R' و P تزریق و بهدام افتاده است. این مسئله سبب رخداد شدیدترین دگرسانی و نیز کانی‌سازی رگهای در نقاط تلاقی شده است. مناطق بهاریه، اوج پلنگ و سرسفیدال در این نقاط تلاقی واقع شده‌اند (شکل 5). پردازش تصاویر ماهواره آستر نیز مؤید این مدل است (شکل 6). با استفاده از



شکل 2. حرکت امتدالغز گسلهای درونه و تکنار، رخداد برش ساده چپ‌گرد و شکستگیهای برشی نوع R و P با زاویه کم و موافق با جهت حرکت گسل درونه و شکستگیهای نوع R' با زاویه زیاد و مخالف با جهت حرکت درونه در محدوده شمال شرق کاشمر. کنش (T) منطبق بر زاویه 45° (قریباً عمود بر شکستگیهای نوع R) است.

**Fig. 2.** Strike-slip movement of Dorouneh and Taknar faults, sinistral simple shear occurrence and low angle and compatible P and R shear fractures with faults movement and high angle and incompatible R' shear fractures in the study area in northeast of Kashmar. Tension (T) lie in 45° angle (near staple to R fractures).

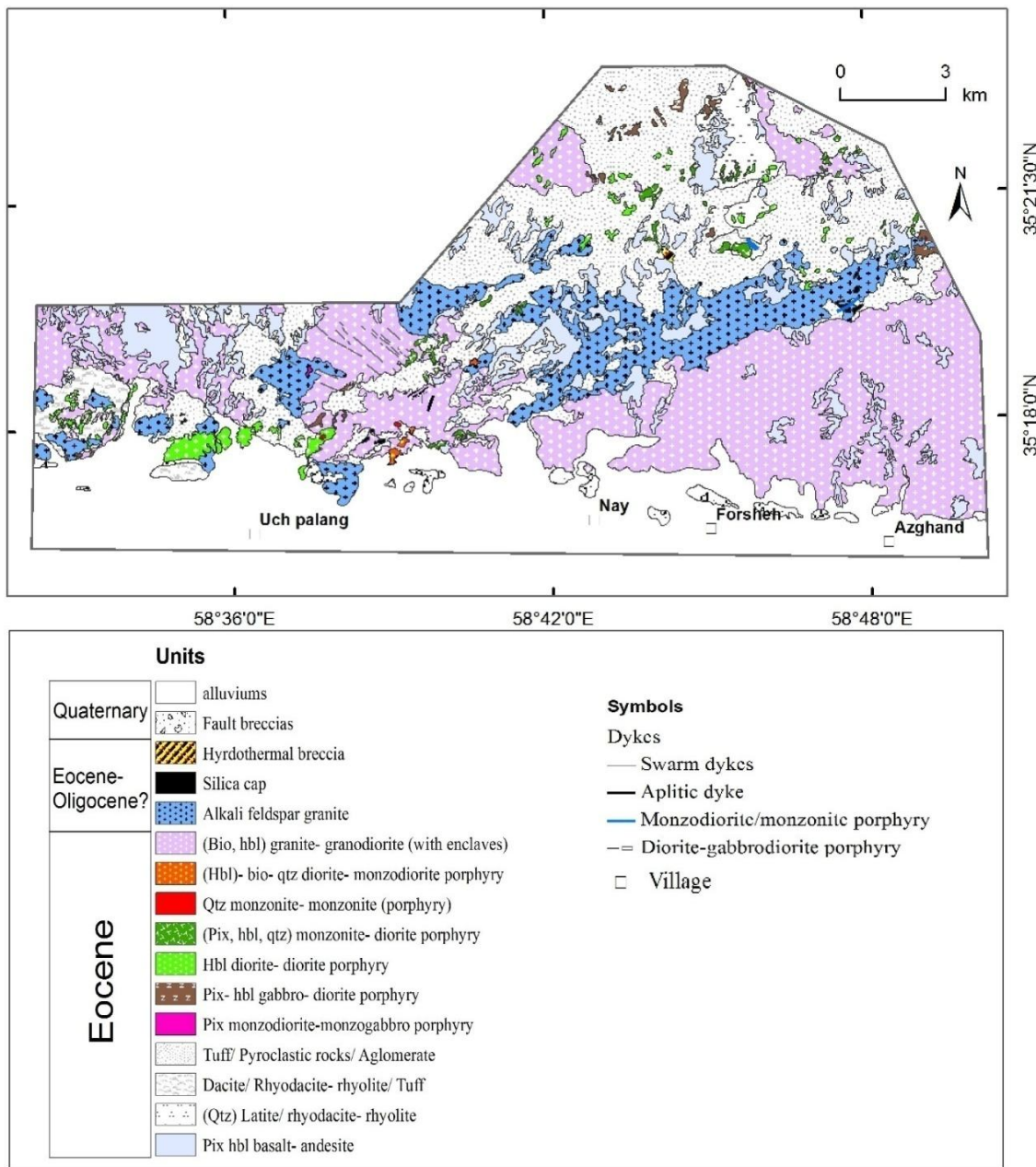


شکل 3. ترسیم گسل‌ها و شکستگیهای اصلی محدوده شمال شرق کاشمر با تلفیق تصاویر ماهواره‌ای Landsat 7+ و IRS و تصاویر با کیفیت بالا Google earth و مطالعات صحراوی. محدوده مطالعاتی با کادر مشخص شده است. (شکستگیهای P, R و R' مورد انتظار در شکل 2 در این جا نشان داده شده‌اند. همچنین بر طبق شکل 2 کشش منطقه‌ای بایستی در جهت عمود بر شکستگیهای R رخ داده باشد.)

**Fig. 3.** Principal faults and fractures depict in northeast of Kashmar by compilation of Landsat 7<sup>+</sup>, IRS and high-quality GoogleEarth images and field studies. The study area is shown by frame (prospectable P, R and R' fractures in Fig. 2 are shown in here). Also according to Fig. 2, regional tension must occur in the right angle to R fractures.

صرفاً بر روی شکستگیهای ریدل نوع R و P در بهاریه و مرتبط با دگرسانیهای اولیه شکل گرفته‌اند، اما رگه‌های IOCG بر روی گسلهای منطقه کمرمرد در تمامی جهات رخ داده‌اند و با دگرسانی تأخیری همراهند (مقایسه شکلهای 7 و 8). رگه‌های سولفید فلزات پایه دارای حداقل طول 100 و عرض 8-4 متر و رگه‌های IOCG دارای حداقل طول 85 و عرض بین 30 سانتی‌متر تا دو متر هستند. بعضًا عرض زون برش گرمابی - گسلی به 30 متر می‌رسد.

کانی‌سازی سطحی در منطقه کاشمر دارای شواهد نسبتاً ضعیفی است و عمدها به صورت رگه‌های سیلیسی کانه‌دار و بهندرت به صورت برش گرمابی - گسلی و افشار در منطقه رخ داده است (شکل 8). براساس مطالعات میکروسکوپی، نوع و فراوانی کانیهای فلزی و پاراژنز کانیایی فلزی و باطله (شکل 9)، رگه‌ها به دو دسته قابل تقسیم‌اند: رگه‌های سولفید فلزات پایه (کالکوپیریت، پیریت و گالن) و رگه‌های IOCG (اسپکیولاویریت ± فلزات پایه ± طلا). رگه‌های سولفید فلزات پایه



شکل 4. نقشه زمین‌شناسی محدوده مطالعاتی شمال‌شرق کاشمر با مقیاس 1:20000 به روند نفوذ آلکالی‌گرانیت که بر اثر کشش منطقه‌ای رخداده توجه شود (مقایسه با شکلهای 2 و 3). دسته‌دایک‌های موازی در جهت شکستگی‌های نوع P (مقایسه با شکلهای 2 و 3) نفوذ کرده‌اند.

**Fig. 4.** Geological map of the study area in northeast of Kashmar in 1:20,000 scale. Pay attention to Alkali granite intrusion trend which occur due to regional tension (compare to Figs. 2 and 3). Parallel dyke swarms intruded in compatible to P fractures (compare to Figs. 2 and 3).

رگه IOCG به طول تقریبی 7 متر و عرض 15 سانتی‌متر که در تپه‌های شمال‌غرب بهاریه دیده شد، آثاری از این نوع رگه در بهاریه و اوج پلنگ وجود ندارد (شکل 8). اما در سرسفیدال که در جنوب کمرمرد واقع شده و در تراز ارتفاعی بالاتری نسبت به بهاریه و اوج پلنگ است، فراوانی رگه‌های IOCG

سنگ میزان برش داسیت و توده نفوذی کوارتز دیوریتی بوده و قطعات برش از سنگ میزان و قطعات کوارتز درشت و ریز زاویه‌دار تشکیل شده که با سیمان غالباً سیلیسی و جزئی سیدریت که در آن مقادیر کمی اسپکیولاریت  $\pm$  دانه‌های خیلی کم مگنتیت وجود دارد، بهم چسبیده شده‌اند. با استثنای یک

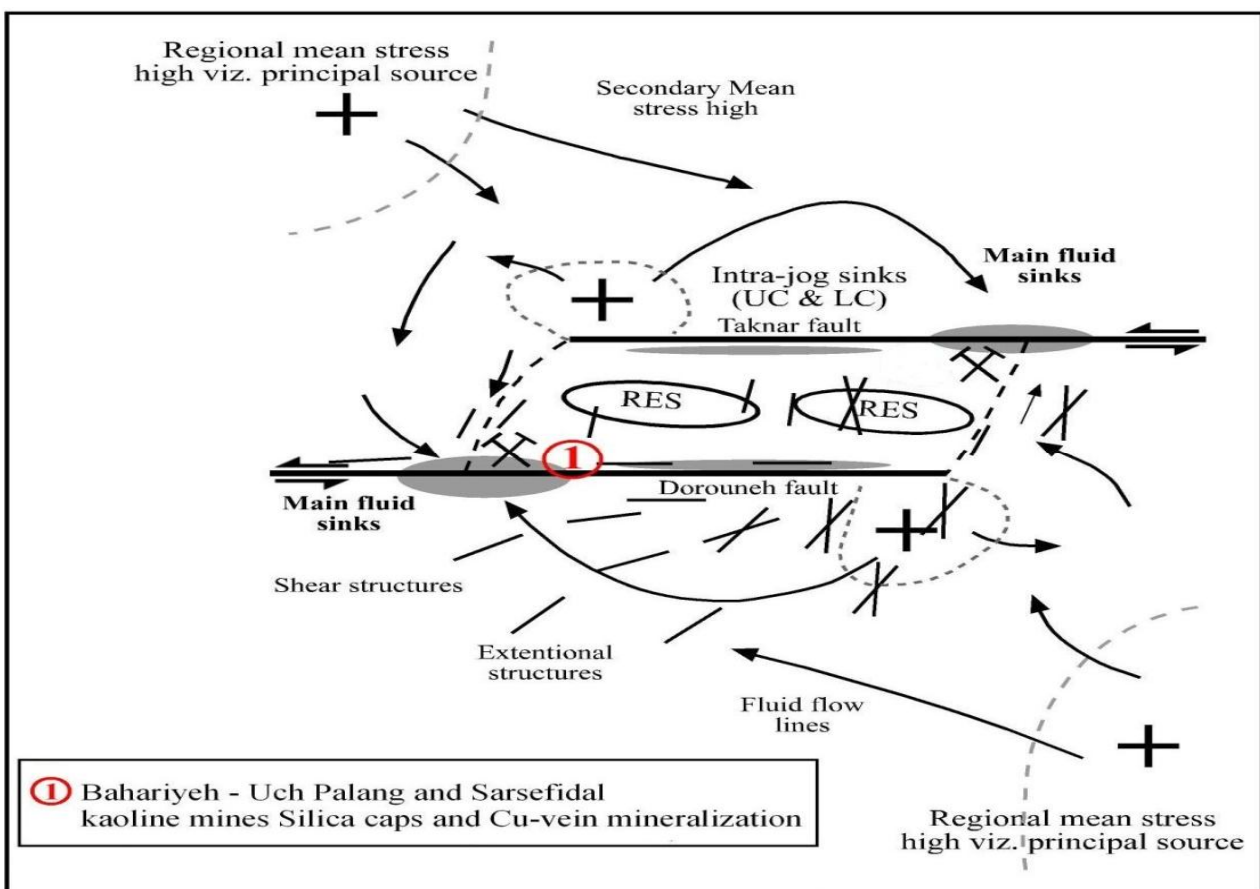
از: اسپیکیولاریت، گالن، کالکوپیریت، پیریت و اسفالریت (شکلهای 9 و 10، C، D، E و F).

کانیهای حاصل از هوازدگی لیمونیت، هماتیت، ملاکیت و آزوریت و کانیهای باطله به ترتیب شامل کوارتز، باریت، کلریت، کمی سرسیت و کربنات آهن دار (سیدریت) و کلسیم (کلسیت) هستند. وجود کانیهای اسپیکیولاریت و کالکوپیریت، به ترتیب دلالت بر شرایط فرایکسایش و فقری از سولفور محلول گرمابی دارد. براساس نوع و فراوانی کانیهای فلزی و باطله، رگههای IOCG در منطقه به سه زیرگروه قابل تقسیم‌اند: زیرگروه I (کوارتز- پیریت- کالکوپیریت- گالن $\pm$  اسفالریت $\pm$  اسپیکیولاریت $\pm$  مگنتیت $\pm$  سایر کانیها) (شکل 10- C و D)، زیرگروه II (کوارتز- گالن- پیریت $\pm$  اسفالریت $\pm$  کالکوپیریت $\pm$  مگنتیت $\pm$  باریت $\pm$  سیدریت و سایر کانیها) (شکل 10- E و F)، زیرگروه III (کوارتز- اسپیکیولاریت $\pm$  کالکوپیریت $\pm$  گالن $\pm$  اسفالریت $\pm$  مگنتیت $\pm$  باریت $\pm$  سیدریت) (شکل 10- G). کاهش مقادیر پیریت و کالکوپیریت از زیرگروه II و به موازات آن، افزایش مقادیر گالن+ باریت در زیرگروه II و اسپیکیولاریت+ باریت در زیرگروه III و نیز شواهد دیگری چون وجود غلاف گالن در اطراف تکدانه‌های پیریت در زیرگروه II (شکل 10- E) نشان‌دهنده کاهش مقدار سولفور در محلول گرمابی با پیشرفت در سردشدن آن است. مطالعات دماسنجدی سیالات در گیر این رگه‌ها (Almasi, 2015)، مؤید این موضوع است. براساس نتایج تجزیه تعداد 28 نمونه کانی‌سازی از رگه‌ها (جدول 1)، مقادیر مس، سرب و روی در هر دو نوع رگه بی‌هنجری داشته (در دو سری رگه تا > 1 درصد) اما در رگه‌های IOCG قابل توجه‌تر از رگه‌های سولفید فلزات پایه است. مقادیر زیاد (بیش از یک درصد) طلا، مس، سرب و روی غالباً بر رگه‌های گروه I پاراژنزی رگه‌های IOCG متتمرکز است (KM6-11-13-14-24-25-27-105-106) (جدول 1: نمونه‌های KM101 منطبق بر زیرگروه I پاراژنزی و سرب در نمونه‌های KM101 و KM11-24-25-27 که نمونه KM11 مربوط به زیرگروه III و مابقی مربوط به زیرگروه I هستند).

بیشتر است، اما خبری از رگه‌های سولفید فلزات پایه نیست (شکل 8). رگه‌های سولفید فلزات پایه در تراز ارتفاعی پایین‌تر از رگه‌های IOCG و در گسلهای مجاور گسل درونه، کلاهکهای سیلیسی و زون آرژیلیک پیشرفته تشکیل شده‌اند (مقایسه شکل‌های 7 و 8). کلاهکهای سیلیسی فاقد حفره‌اند که نشان‌دهنده عدم رخداد جوشش است. با نزدیک شدن محلول گرمابی به سطح زمین و تمایل به خارج شدن گازهای آن، امکان تشکیل کوارتز حفره‌دار به وجود می‌آید (Sillitoe, 2003). نبود کوارتز حفره‌دار نشان می‌دهد که محلول کلاهکهای سیلیسی بیانگر سطح تراز قدیمی نیست و آشکارشدن کلاهکهای سیلیسی در سطح کنونی ناشی از فرایکسایش بخش‌های فوقانی است. بررسی شواهد دیگری مانند مطالعات سیالات در گیر بر روی رگه‌های سیلیسی کانه‌دار منطقه، عدم رخداد جوشش را تأیید می‌کند (Almasi, 2015). نبود رگه‌های IOCG (یا استثنای یک رگه، شکل 8)، اثبات تشکیل کلاهکهای سیلیسی در عمق و پایین بودن تراز فعلی در بهاریه و اوج پلنگ نشان می‌دهد که به احتمال قوی، رگه‌های IOCG در بهاریه و اوج پلنگ بر اثر فرایکسایش از بین رفتند. براساس مطالعات مینرالوگرافی، فراوانی نوع کانیهای فلزی و روابط پاراژنزی آنها با هم و با کانیهای باطله (شکل 9)، IOCG رگه‌های سولفید فلزات پایه به دو زیرگروه و رگه‌های سولفید فلزات پایه، کانیهای فلزی عمده‌تاً کالکوپیریت، پیریت و گالن هستند (شکل‌های 9 و 10- A و B). اسیدهای ثانویه هماتیت و لیمونیت و کربنات‌های ملاکیت و آزوریت فراوان هستند. زیرگروه I شامل کوارتز- کالکوپیریت $\pm$  پیریت $\pm$  کلریت $\pm$  اسفالریت $\pm$  گالن (شکل 10- A) و زیرگروه II شامل گالن $\pm$  کالکوپیریت $\pm$  کلریت $\pm$  پیریت $\pm$  کلسیت (شکل 10- B) هستند. زیرگروه I در رگه‌های مجاور بهاریه با کانی غالب کالکوپیریت و پیریت و مقادیر بسیار کم گالن و رگه‌های زیرگروه II با فاصله از بهاریه با کانی غالب گالن و مقادیر بسیار کم کالکوپیریت دیده شد. براساس مطالعات دماسنجدی سیالات در گیر، با کاهش دما ابتدا زیرگروه I پاراژنزی و پس از آن زیرگروه II تشکیل شده است (Almasi, 2015). کانیهای فلزی تشکیل‌دهنده رگه‌های IOCG به ترتیب فراوانی عبارتند

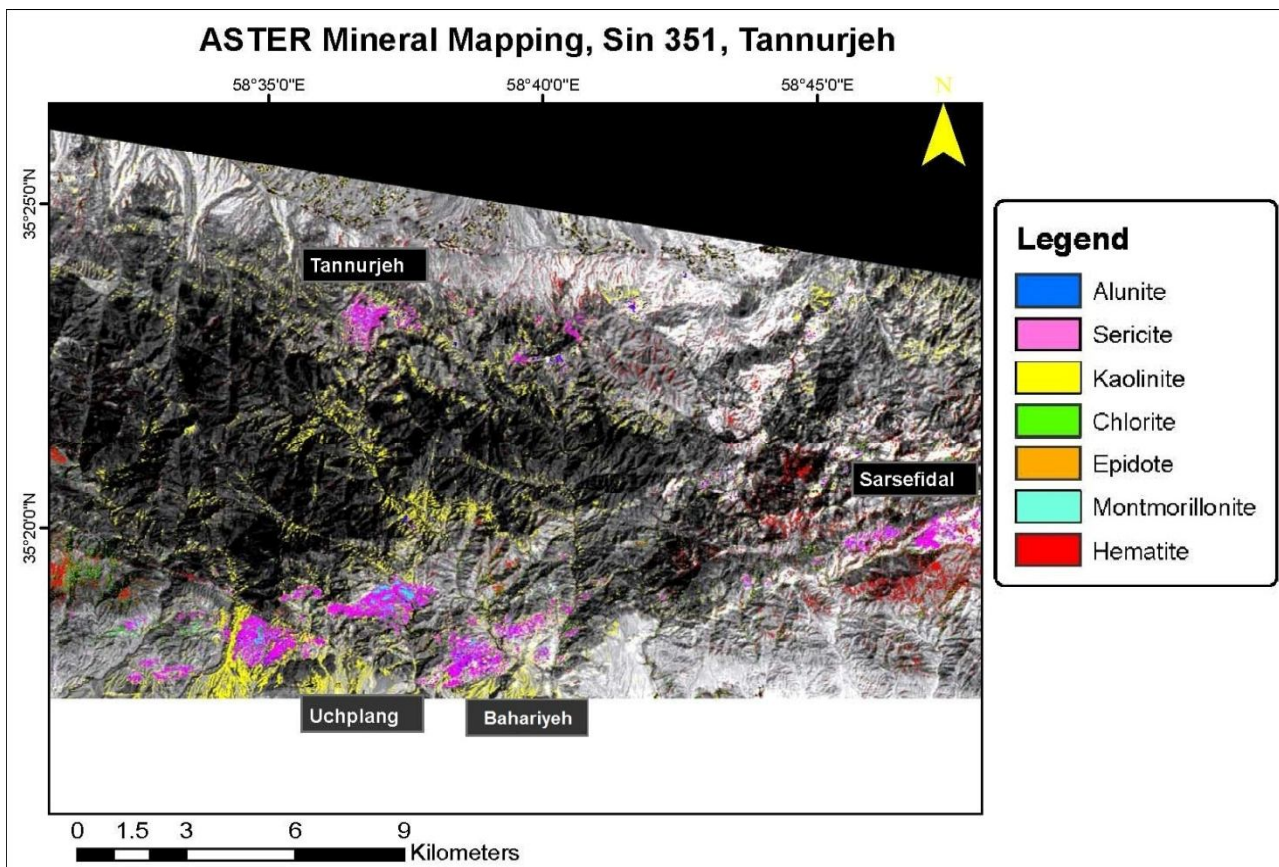
(Brookins, 1988). علاوه بر منگنز، مقادیر نسبتاً زیاد باریم (به صورت باریت دانه‌درشت تیغه‌ای در رگه‌ها) و آهن اسپکیولاریت نیز در رگه‌های IOCG به‌وضوح بر شرایط اکسیدان تر محلول در ایجاد این رگه‌ها دلالت دارد. نتایج تجزیه در محیط GIS به نقشه‌های ژئوشیمی رگه‌ها (پراکندگی عناصر در رگه‌های منطقه) تبدیل شد (شکلهای 14، 13، 12، 11 و 14).

این مسئله وابستگی طلا به پاراژنز اسپکیولاریت + سولفیدهای مس، سرب و روی را نشان می‌دهد. در کانسار طلای کوه‌زیر که یک ذخیره طلای نوع IOCG معروفی شده است و در مجاورت منطقه (در شرق کمرمرد) واقع شده است، طلا از نظر پاراژنزی Mazloomi با اسپکیولاریت و کالکوپیریت همراه است (Bajestani, 2009) IOCG و مقدار منگنز تقریباً در همه در رگه‌های IOCG خصوصاً در رگه‌های IOCG بالاست. مقدار زیاد منگنز در هر دو سری از رگه‌ها، شرایط اکسیداسیون بالای محلول گرمابی را نشان می‌دهد.



شکل 5. نمودار خلاصه نشان‌دهنده جریان محلول درون و اطراف یک زون برشی با تنش فشارشی ناحیه‌ای (Connolly and Cosgrove, 1999) و تعیین آن به رخداد دگرسانی و کانی‌سازی در شمال شرق کاشمر. در این مدل، مناطق اصلی برای کانی‌سازی در فضای بین دو دیواره برش (بین گسلهای درونه و تکنار (محدوده RES)) پیش‌بینی شده است. مکانهای احتمالی برای کانی‌سازی نیز منطبق بر مناطق با بالاترین جریان محلول (Main fluid sink) است. مناطق بهاریه، اوج پلنگ و سرسفیدال در محل تقاطع گسل درونه با گسلهای فرعی، مناطق با بیشترین جریان محلول (main fluid sink) و شدیدترین دگرسانی قرار دارند.

**Fig. 5.** Summary diagram illustrating the fluid flow within and around a shear zone with regional compression (Connolly and Cosgrove, 1999) and referring it to alteration and mineralization occurrence in northeast of Kashmar. In this model, principal areas for mineralization are predicted in the space between two shear walls (between Dorouneh and Taknar faults (RES area)). Probable areas for mineralization also correlate with highest fluid flow (Main fluid sink). Bahariyeh, Uchpalang and Sarsefidal areas are located in crosscutting points between Dorouneh fault with minor faults, areas with highest fluid flow (Main fluid sink) and most intensive alteration.

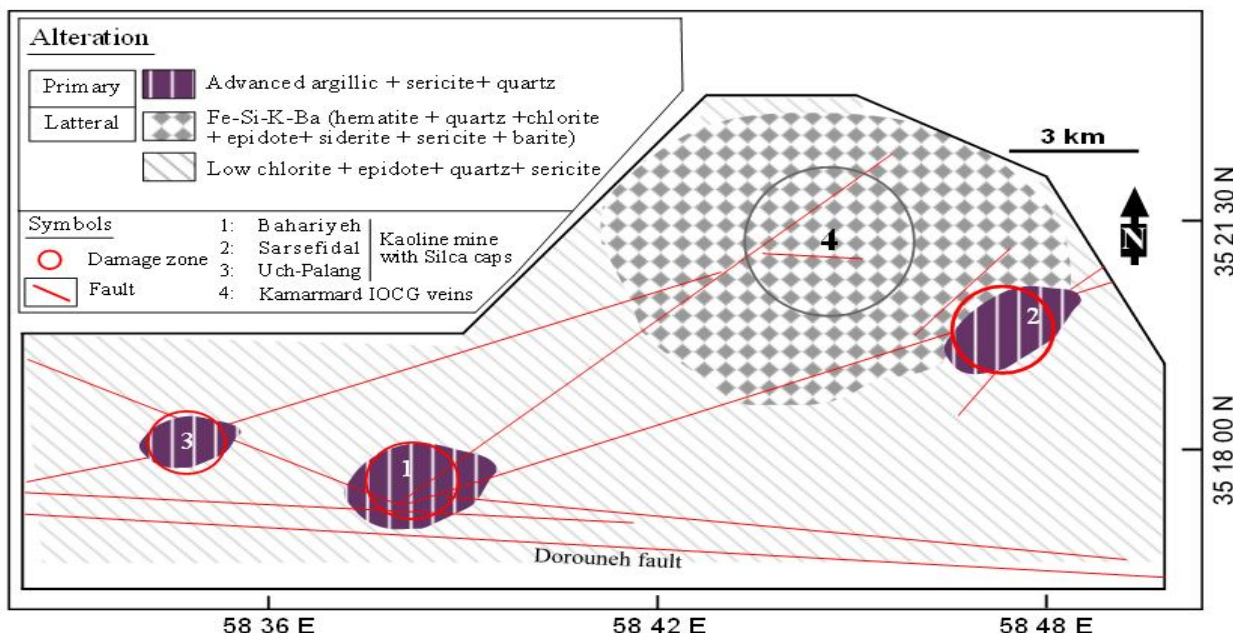


شکل 6. تصویر پردازش شده ماهواره Aster منطقه شمال شرق کاشمر. مناطق بهاریه- اوج پلنگ و سرسفیدال دارای بیشترین شدت دگرسانی اند محل دگرسانیها با مناطق پیش بینی شده در شکل 7 همخوانی کامل دارد.

**Fig. 6.** Processed Aster image of northeast of Kashmar area. Bahaiyeh, Uchpalang and Sarsefidal areas have highest intense alteration. The positions of alterations are fully correlated with predicted areas in Fig. 7.

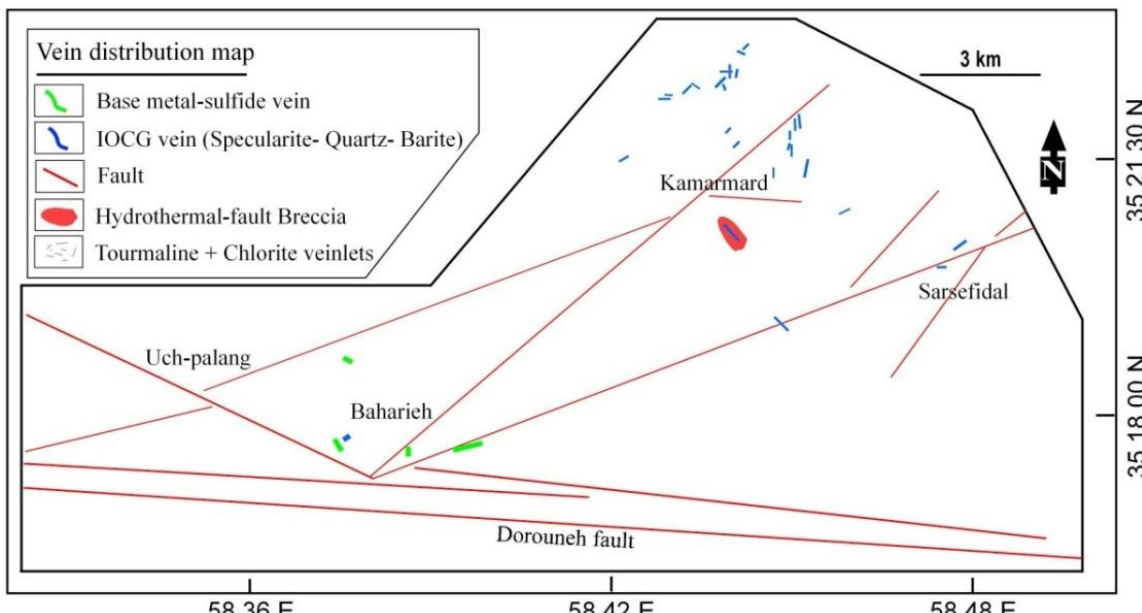
تجزیه نمونه کل سنگ و با توجه به سن 40 میلیون سال آمده است. میانگین نسبت ایزوتوب اولیه  $^{87}\text{Sr}/^{86}\text{Sr}$  و  $^{143}\text{Nd}/^{144}\text{Nd}$  برای توده‌های اکسیدان به ترتیب بین 0/705 تا 0/5125 و 0/5126 تا 0/707 است. با توجه با این که سری احیایی سنی جوانتر از 40 میلیون سال دارد، نسبت ایزوتوب اولیه  $^{87}\text{Sr}/^{86}\text{Sr}$  و  $^{143}\text{Nd}/^{144}\text{Nd}$  این سری بیشتر از این مقادیر خواهد بود. مقدار  $\epsilon_{\text{Nd}}$  توده‌های اکسیدان در بازه محدود منفی تا مثبت (−1/65 - +1/33) بددست آمد. براساس نمودار نسبتهای اولیه  $^{143}\text{Nd}/^{144}\text{Nd}$  در مقابل  $^{87}\text{Sr}/^{86}\text{Sr}$  (Zindler and Hart, 1986) (شکل 16)، مقادیر بددست آمده برای سری اکسیدان قدیمی‌تر از سری احیایی، منشأ فروزانش با آلایش پوسته قاره‌ای را نشان می‌دهند.

سن‌سنگی زیرکن و ایزوتوب‌های  $\text{U-Pb}$  و  $\text{Rb-Sr}$  پس از مطالعات دقیق پتروگرافی و پترولوزیکی، از توده‌های نفوذی اکسیدان (سری I)، نمونه بیوتیت هورنبلند کوارتز-مونزودیوریت/مونزونیت پورفیری (به عنوان نماینده‌ای از توده‌های حدواسط- اسیدی اکسیدان) برای سن‌سنگی انتخاب شد. نتایج محاسبه و تعیین سن ایزوتوبی در جدول 2 و شکل 15 نشان داده شده است. بر پایه 10 نقطه اندازه‌گیری روی دانه‌های زیرکن، سن توده بیوتیت هورنبلند کوارتز-مونزودیوریت/مونزونیت پورفیری برابر با 40 میلیون سال محاسبه شد (جدول 2 و شکل 15). با توجه به روابط صحرایی، توده احیایی (سری A) سنی جوانتر از 40 میلیون سال دارد. در جدولهای 3 و 4 مقدار ایزوتوب  $^{87}\text{Sr}/^{86}\text{Sr}$  و  $^{143}\text{Nd}/^{144}\text{Nd}$  اولیه 5 نمونه از توده‌های نفوذی I که از نظر روابط صحرایی قدیمی‌تر از سری A در منطقه هستند، با



شکل 7. نقشه دگرسانی 1:20000 شمال شرق کاشمر. محلول گرمابی در محل تقاطع گسلهای فرعی با گسل اصلی درونه سبب دگرسانی (آرژیلیک پیشرفته + سرسیت + کوارتز) در مناطق بهاریه، اوچ پلنگ و سرفیدال و دگرسانیهای Fe-Ba-Si-K (اکسیدهای آهن و تیتان-کوارتز-کلریت-باریت ± سرسیت ± اپیدوت) و Ca-Fe-Ti-Si (کلریت- اپیدوت- کلسیت)-اکسیدهای آهن و تیتان + تیتانیت-کوارتز) در کمرمرد شده است.

**Fig. 7.** Alteration map of Kashmar in 1:20,000 scale. In intersections of secondary faults with principal Dorouneh faults, hydrothermal fluid causes K-Si (advanced argillic + sericite + quartz) in Bahariyeh, Uchpalang and Sarsefidal and Fe-Ba-Si-K (Fe-Ti oxides-quartz-chlorite-barite±sericite±epidote) and Ca-Fe-Ti-Si (calcic (chlorite-epidote-calcite)-Fe-Ti oxides-titanite-quartz) alterations in Kamarmard area.



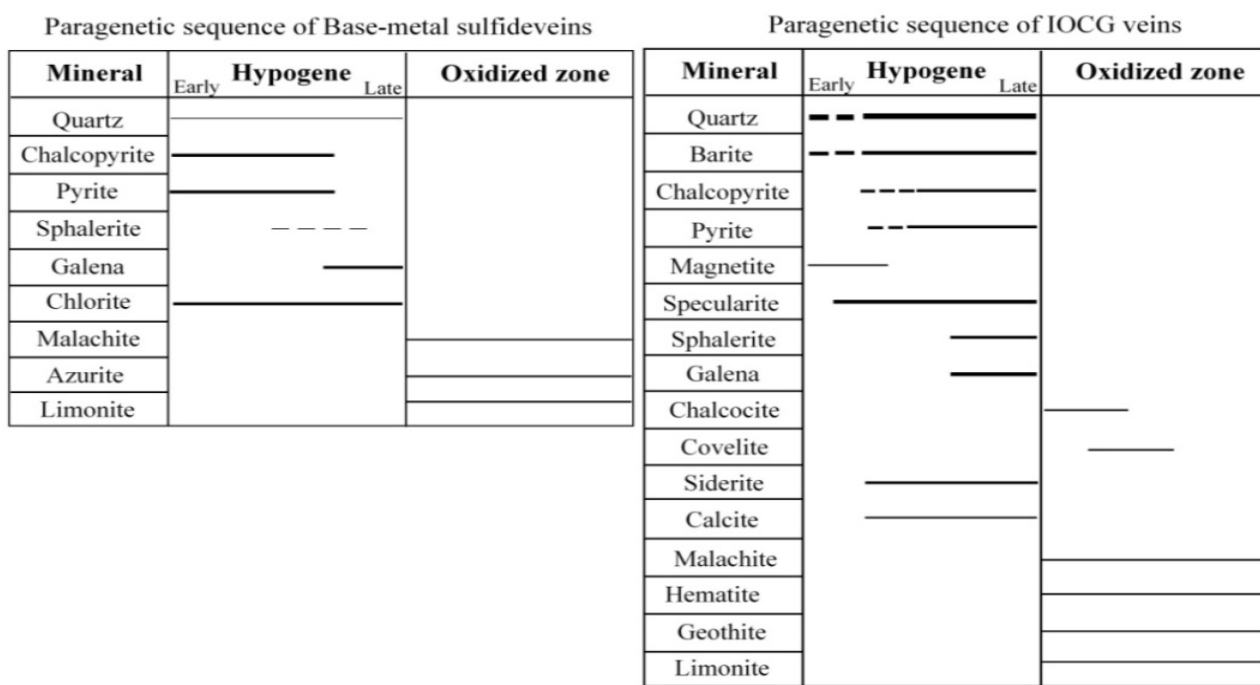
شکل 8. نقشه پراکندگی رگه‌های کانه‌دار (رگه‌های فلزات پایه و رگه‌های IOCG) در شمال شرق کاشمر. رگه‌های فلزات پایه در بهاریه و نزدیک به گسل درونه ولی رگه‌های IOCG غالباً در کمرمرد متتمرکزند.

**Fig. 8.** Distribution map of ore-bearing veins (base metal-sulfide veins and IOCG veins) in northeast of Kashmar. Base metal-sulfide veins are concentrated in Bahariyeh and near to Dorouneh fault, while IOCG veins in Kamarmard area.

جدول 1. نتایج تجزیه نمونه‌های رگه‌های سولفید فلزات پایه و IOCG در منطقه شمال شرق کاشمر. نمونه‌های مربوط به رگه‌های سولفید فلزات پایه با علامت (\*) مشخص شده است.

**Table 1.** Analysis results of base metal-sulfide veins and IOCG veins in northeast of Kashmar. Samples of base metal-sulfide veins are shown with (\*) symbol.

Sample	Cu (ppm)	Au (ppb)	Pb (ppm)	Zn (ppm)	Ag (ppm)	W (ppm)	As (ppm)	Fe (%)	Mn (ppm)	Ba (ppm)
KM1	479	24	48	37	0.2	۲۵	26	7	1087	75
KM3	52	55	32	57	1.2	1	27	5	303	269
KM4	614	178	122	25	2.7	1	103	8	387	475
KM6	6304	33	964	130	9.2	1	84	15	142	141
KM7	51	6	172	201	0.3	0	2	6	4639	1055
KM10	110	16	324	164	2	18	73	8	1255	1483
KM11	6265	1295	24	575	4	2	139	3	805	491
KM12	87	5	6169	95	7.4	7	6	1	645	437
KM13	1781	11	>10000	>10000	49.6	2	183	1	212	58
KM14	334	5	>10000	152	5.7	0	8	1	409	196
KM16	420	6	22	88	0.2	1	3	1	376	2283
KM17	1176	18	54	63	0.3	1	10	1	248	1236
KM18	955	5	877	183	5.1	5	7	3	547	2283
KM19	190	10	25	15	0.2	0	3	0	55	1020
KM20	227	3	70	32	0.2	2	8	1	320	2586
KM21	152	3	237	48	0.4	1	3	2	451	2748
KM22	414	28	5226	104	3.4	1	3	1	3551	115
KM23	868	6	207	127	6.9	1	19	1	3177	2726
KM24	339	2614	4413	>10000	5.1	0	21	5	6137	76
KM25	1389	14963	>10000	>10000	22.2	<0.1	36	6	7366	44
KM27	264	6748	1578	2147	4.7	0	18	3	3418	61
KM105	>10000	64	487	1193	3.6	11	50	16	1415	111
BM6	4676	4	19	72	0	2	3	4	1247	66
BM3*	>10000	116	106	347	0.6	2	8	7	2630	133
BM5*	>10000	27	80	302	0.9	0	172	3	847	163
BM101*	593	69	6605	328	56.1	0	22	5	69	119
KM101*	1676	7	1472	384	1.5	1	15	1	6134	41
KM102*	143	7	79	90	1.1	17	25	5	7645	306



شکل 9. توالی پاراژنزی برای کانیهای فلزی و غیر فلزی رگه‌های سیلیسی کانه‌دار (رگه‌های سولفید فلزات پایه و رگه‌های IOCG) در شمال شرق کاشمر.

**Fig. 9.** Paragenetic sequence for ore and gangues of ore-bearing silicified veins (base metal-sulfide veins and IOCG veins) in northeast of Kashmar.

جدول 2. نتایج تجزیه سن‌سنگی نمونه کوارتز مونزونیت توده‌های نفوذی نوع I شمال شرق کاشمر.

**Table 2.** Dating analysis results of quartz monzonite of I-type intrusive rocks in northeast of Kashmar

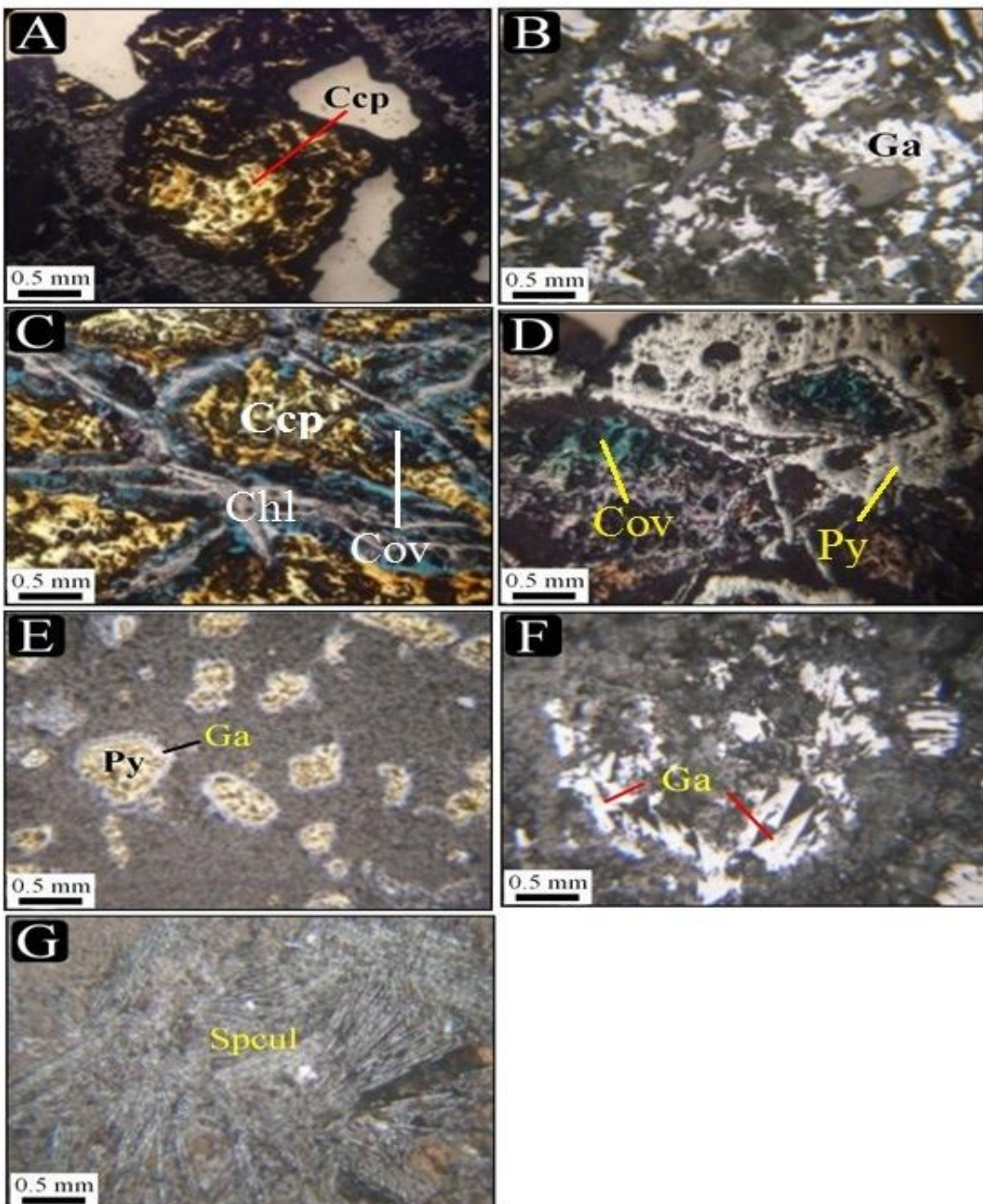
Sample	U(ppm)	Th(ppm)	U/Th	$^{207}\text{Pb}/^{206}\text{Pb}$	$\pm(\%)$	$^{207}\text{Pb}/^{235}\text{U}$	$\pm(\%)$	$^{206}\text{Pb}/^{238}\text{U}$	$\pm(\%)$	Age
1	5.70	6.64	0.86	0.0485	7.3	0.0450	2.9	0.0067	2.9	43.2
2	1.70	1.30	1.31	0.0548	30.7	0.0557	6.7	0.0074	6.7	47.4
3	4.78	5.96	0.80	0.2071	11.3	0.2361	3.8	0.0083	3.7	53.0
4	4.88	2.59	1.88	0.0481	2.7	0.0419	2.4	0.0063	2.3	40.6
5	2.04	1.05	1.94	0.0485	3.0	0.0423	3.8	0.0063	3.8	40.6
6	1.52	1.12	1.36	0.0499	3.6	0.0434	4.8	0.0063	4.7	40.5
7	3.24	3.53	0.92	0.0485	5.0	0.0421	8.2	0.0063	8.2	40.4
8	1.56	9.10	0.17	0.0482	2.6	0.0417	1.3	0.0063	1.2	40.3
9	2.00	1.25	1.60	0.0479	12.0	0.0413	3.0	0.0063	2.9	40.2
10	1.63	1.23	1.33	0.0491	2.2	0.0423	1.3	0.0063	1.2	40.2

جدول 3. داده‌های ایزوتوپی مربوط به ایزوتوپ‌های Rb-Sr سنگهای نفوذی نوع I شمال شرق کاشمر

**Table 3.** Isotopic data related to Rb-Sr isotopes for I-type intrusive rocks in northeast of Kashmar

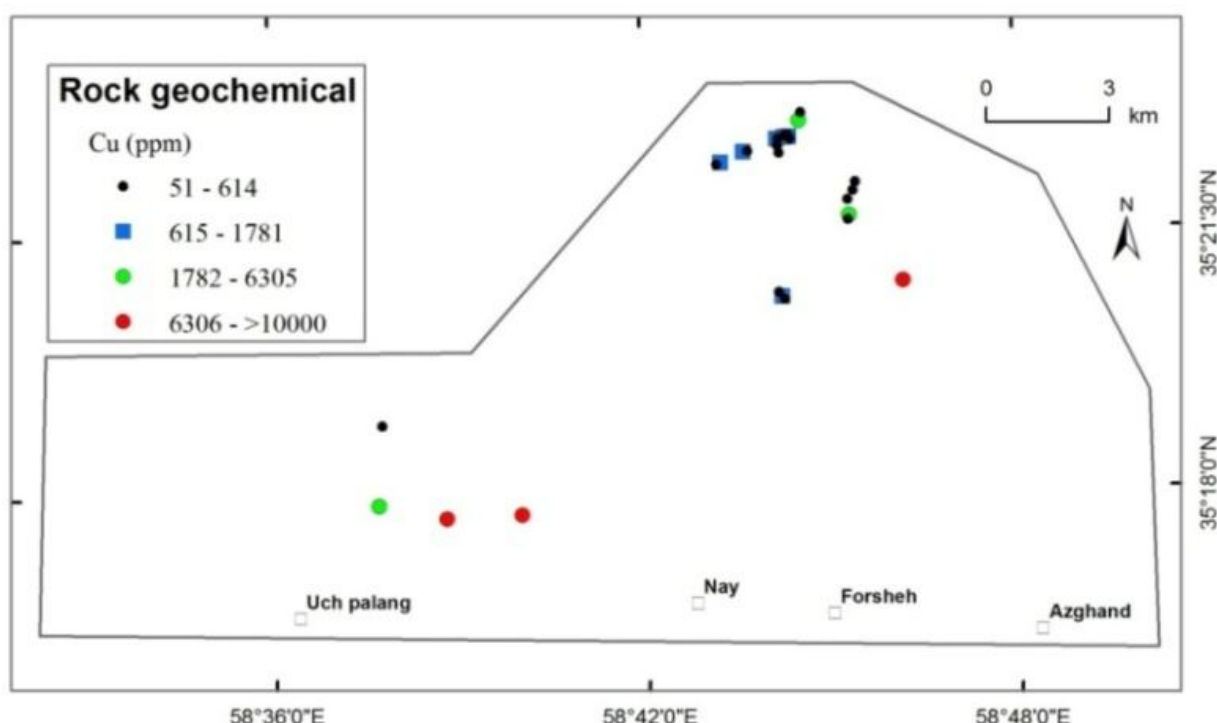
Sample	Age (Ma)	Rb (ppm)	Sr (ppm)	$^{87}\text{Rb}/^{86}\text{Sr}$	$^{87}\text{Rb}/^{86}\text{Sr}$ uncertainty	$^{87}\text{Sr}/^{86}\text{Sr}$ measured	$^{87}\text{Sr}/^{86}\text{Sr}$ initial
BP-25	40	16.8	58.2	0.835	0.000007	0.706388	0.705914
BP-103	40	64.9	359	0.523	0.000010	0.705890	0.705593
SP-20	40	74.4	379	0.568	0.000007	0.705824	0.705501
SP-7	40	72.7	340	0.619	0.000014	0.706113	0.705761
BP-11	40	94.6	393	0.696	0.000007	0.705741	0.705346

$^{87}\text{Sr}/^{86}\text{Sr} = 0.710264 \pm 15$  (conf. lim 95%, N=13). The initial ratio of  $^{87}\text{Sr}/^{86}\text{Sr}$  calculated using  $^{87}\text{Rb}/^{86}\text{Sr}$  and  $(^{87}\text{Sr}/^{86}\text{Sr})_{\text{m}}$  and age 40 Ma (age based on zircon)



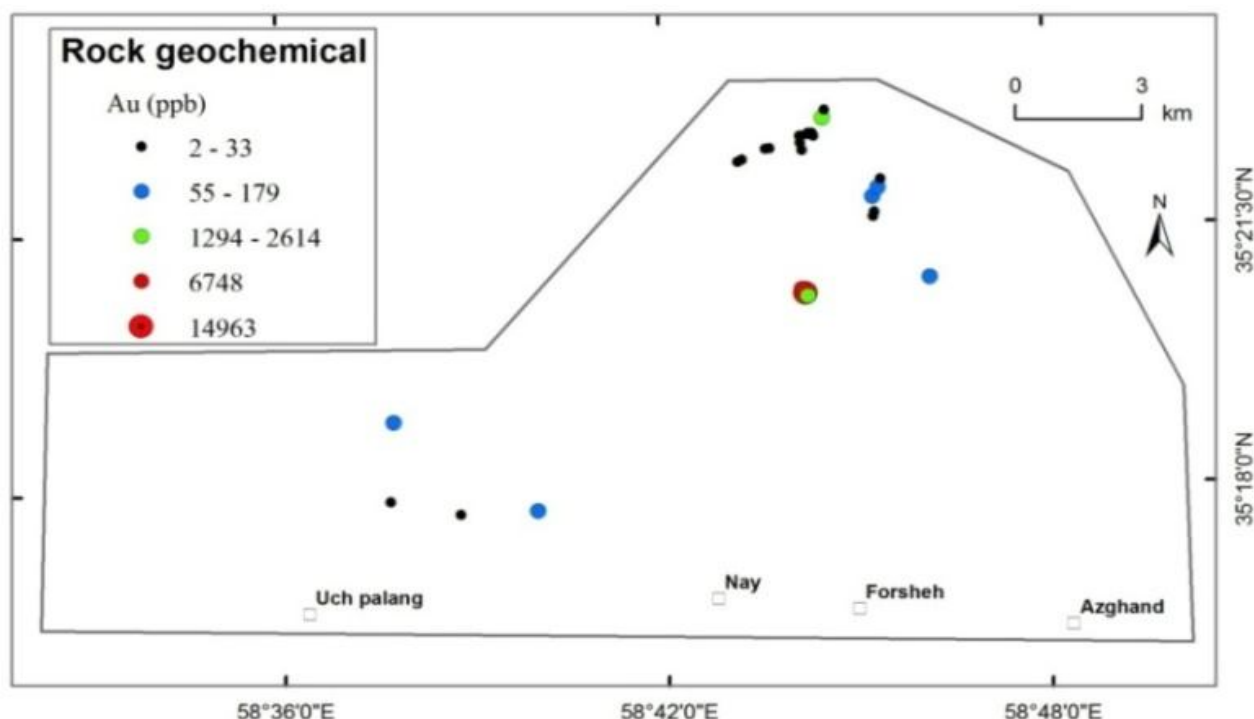
شکل ۱۰. تصاویر مقاطع نازک صیقلی نمونه‌های رگه‌های سولفید فلزات پایه و رگه‌های IOCNG در شمال شرق کاشمر A و B: کالکوپیریت و گالن به ترتیب مربوط به زیرگروه‌های پاراژنزی I و II رگه‌های سولفید فلزات پایه؛ شکل C، D، E، F، G: مربوط به رگه‌های IOCNG. C، D و G: اسپکیولاریت در زیرگروه III. (کالکوپیریت: Ccp، کالکوسیت-کالکوپیریت: Chl، Covellite: Cov، گالن: Ga، پیریت: Py، اسپکیولاریت: Spcul).

**Fig. 10.** Polished-section images of base metal-sulfide veins and IOCNG vein samples in northeast of Kashmar: A, B: Chalcopyrite and galena related to I and II paragenetic subgroup of base metal-sulfide veins, respectively; C to G are related to IOCNG veins: C, D: Chalcopyrite-chalcocite-covellite in I subgroup; E, F: Galena-pyrite and galena in II subgroup; G: Specularite in III subgroup. (Chalcopyrite: Ccp, Chalcocite: Chl, Covellite: Cov, Galena: Ga, Pyrite: Py, Specularite: Spcul).



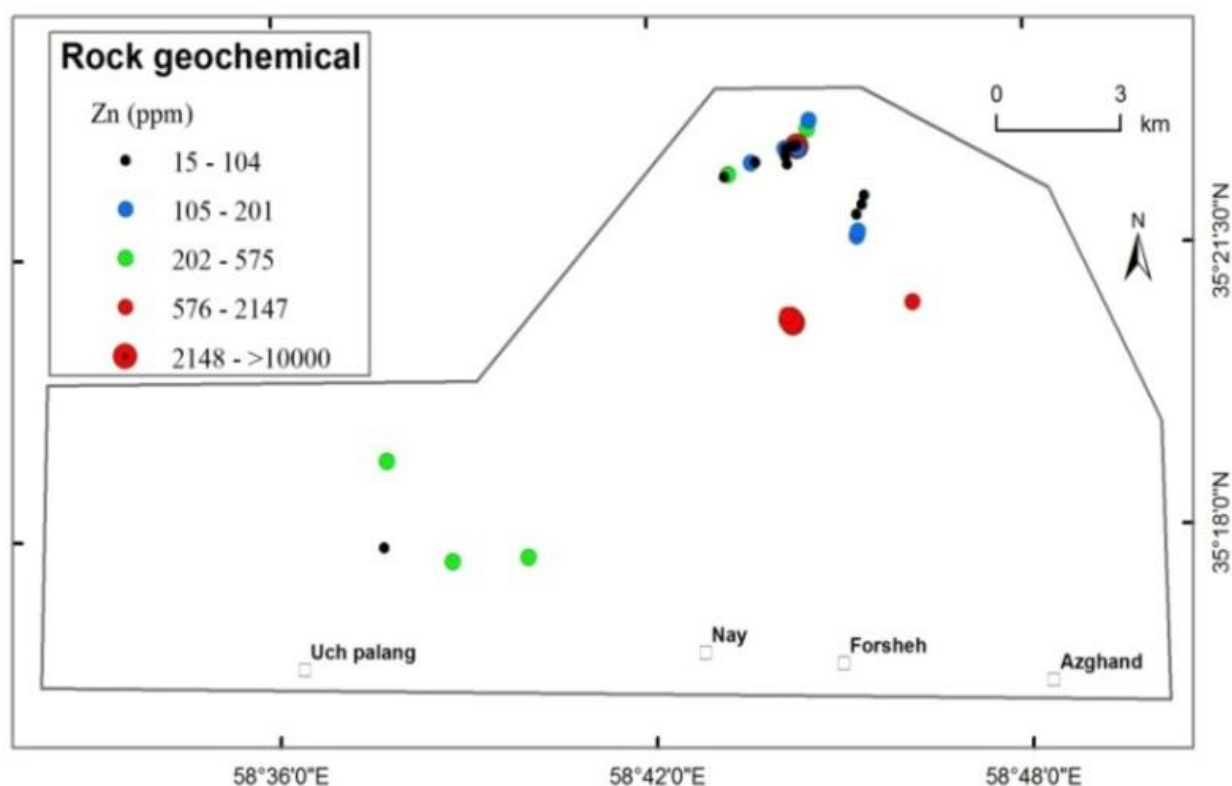
شکل 11. نقشه ژئوشیمی مس رگه‌های سیلیسی کانه‌دار در شمال شرق کاشمر

Fig. 11. Copper geochemical map of ore-bearing silicified veins in northeast of Kashmar



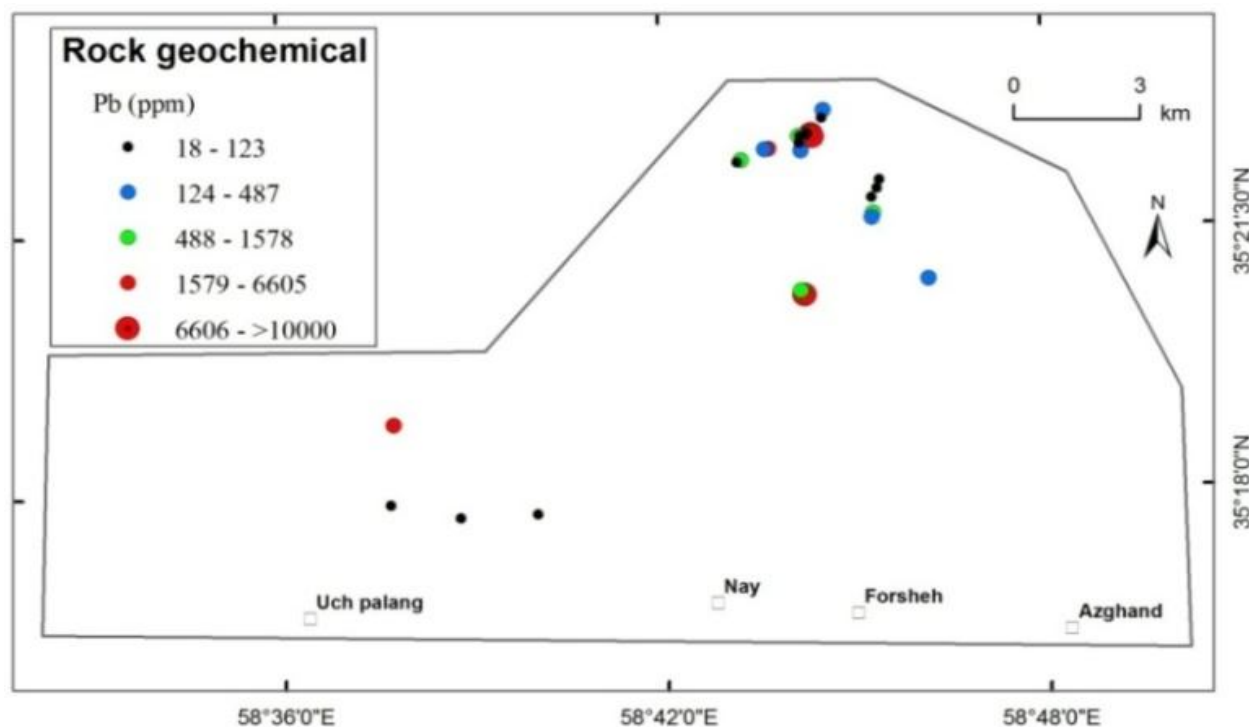
شکل 12. نقشه ژئوشیمی طلا در رگه‌های سیلیسی کانه‌دار در شمال شرق کاشمر

Fig. 12. Gold geochemical map of ore-bearing silicified veins in northeast of Kashmar



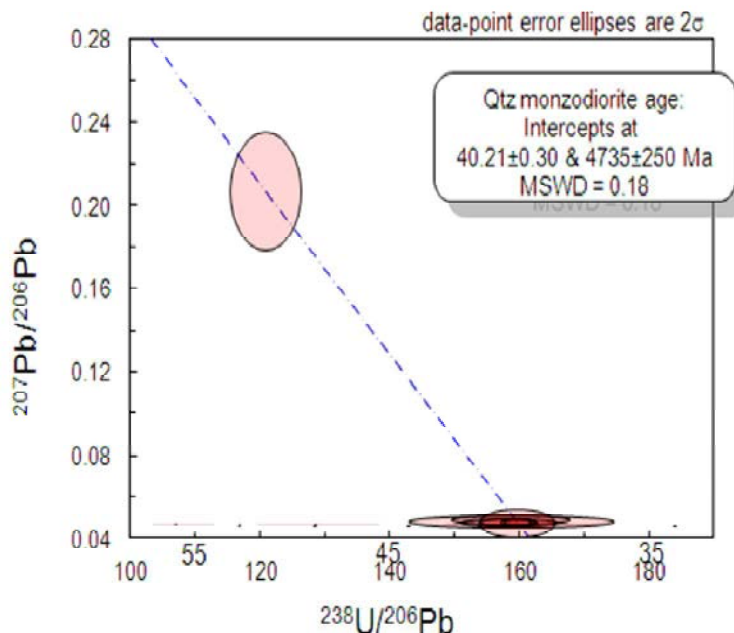
شکل 13. نقشه ژئوشیمی روی رگه‌های سیلیسی کانه‌دار در شمال شرق کاشمر

Fig. 13. Zinc geochemical map of ore-bearing silicified veins in northeast of Kashmar



شکل 14. نقشه ژئوشیمی سرب رگه‌های سیلیسی کانه‌دار در شمال شرق کاشمر

Fig. 14. Lead geochemical map of ore-bearing silicified veins in northeast of Kashmar



شکل 15. نمودار میانگین سن تعیین شده از اطلاعات ایزوتوبی U-Pb برای نمونه کوارتز مونزودیوریت نوع I شمال شرق کاشمر

**Fig. 15.** Plot of determined mean date of U-Pb isotopic data for I-type quartz monzonite sample in northeast of Kashmar

جدول 4. داده‌های ایزوتوبی مربوط به ایزوتوب‌های Sm-Nd سنگهای نوع I کاشمر

**Table 4.** Isotopic data related to Sm-Nd isotopes for I-type intrusive rocks in northeast of Kashmar

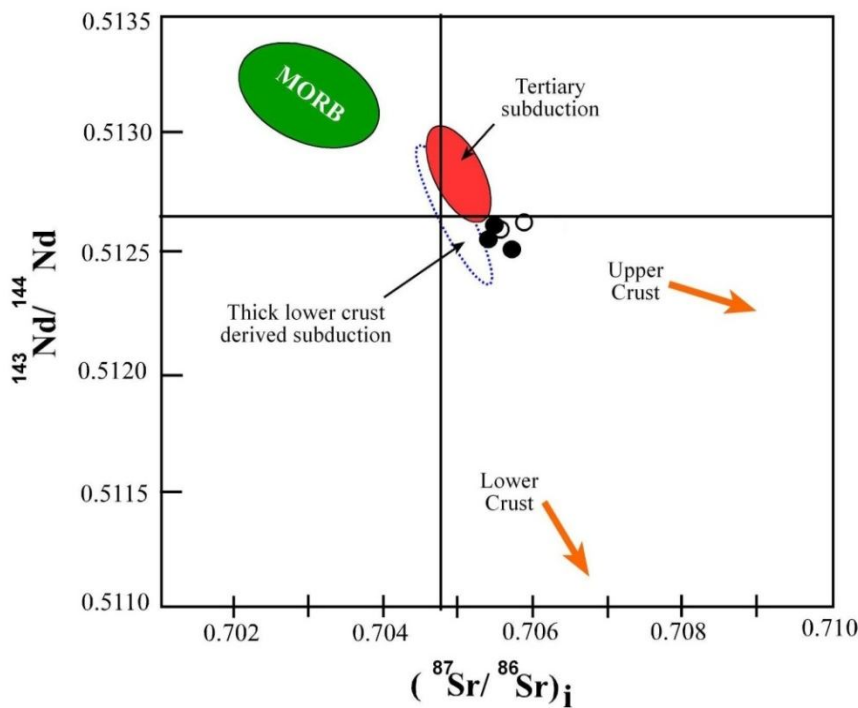
Sample	Age (Ma)	Sm (ppm)	Nd (ppm)	$^{147}\text{Sm}/^{144}\text{Nd}$	$^{143}\text{Nd}/^{144}\text{Nd}$ measured	$^{143}\text{Nd}/^{144}\text{Nd}$ initial	$^{145}\text{Nd}/^{144}\text{Nd}$	$\epsilon\text{Nd}_{\text{I}}$
BP-25	40	4.70	22.4	0.127	0.512688	0.512655	0.348400	1.33
BP-103	40	5.87	28.9	0.123	0.512654	0.512622	0.348402	0.69
SP-20	40	5.70	29.8	0.116	0.512667	0.512637	0.348102	0.98
SP-7	40	4.54	22.5	0.122	0.512534	0.512502	0.348408	-1.65
BP-11	40	5.43	27.9	0.118	0.512606	0.512575	0.348102	-0.22

$^{143}\text{Nd}/^{144}\text{Nd} = 0.5121015 \pm 74$  (conf. lim 95%, N=12). The initial ratio of  $^{143}\text{Nd}/^{144}\text{Nd}$  calculated using  $^{147}\text{Sm}/^{144}\text{Nd}$  and  $(^{143}\text{Nd}/^{144}\text{Nd})_{\text{m}}$  and an age of 40 Ma (age based on zircon)  $\epsilon\text{Nd}_{\text{I}}$ , initial  $\epsilon\text{Nd}$  value

ب) همگی از نوع اکسیدان هستند. دسته دایک‌های موازی جوانترین بوده و مگماهی مولد آنها، عامل دگرسانی و کانی‌سازی در منطقه نیز هست. براساس سن‌سنگی U-Pb زیرکن مربوط به توده کوارتز مونزودیوریتی، به نمایندگی از سری مگماهی اکسیدان (نوع I) جوانتر از سری احیایی کاشمر، سن 40 میلیون سال (اوسن میانی) به دست آمد. براساس اندازه‌گیری ایزوتوب‌های Sr-Nd، میانگین نسبت ایزوتوب اولیه  $^{143}\text{Nd}/^{144}\text{Nd}$  و  $^{87}\text{Sr}/^{86}\text{Sr}$  برای توده‌های اکسیدان به ترتیب بین 0/705 تا 0/707 و 0/5125 تا 0/5126 و مقدار  $\epsilon\text{Nd}_{\text{I}}$  توده‌های اکسیدان در بازه محدود منفی تا مثبت (1/65 - 1/33) به دست آمد. این مقادیر،

بحث و نتیجه‌گیری  
براساس مطالعات ساختاری ناحیه‌ای پیشین و منطقه‌ای این تحقیق، فشارش ناحیه‌ای سبب حرکات امتدادلغز چپ‌گرد گسلهای درونه و تکنار و رخداد زون برشی، ایجاد حوضه Pull-apart و شکستگیهای نوع ریدل در منطقه کاشمر شده است. رویدادهای فوق سبب نفوذ مگما و چرخش محلول گرمابی عامل دگرسانی و کانی‌سازی در منطقه شده‌اند. براساس مطالعات زمین‌شناسی، ژئوشیمی و اندازه‌گیری حساسیت مغناطیسی توده‌های نفوذی، چند ضربان مگماتیسم کالکوآلکالن تا آلکالن پتابسیم بالا تا شوشومنیتی در منطقه رخ داده که به‌جز یک مورد (توده آلکالی‌گرانیت نوع

منشأ فرورانش با آلایش پوسته قاره‌ای را برای توده‌های اکسیدان منطقه کاشمر نشان می‌دهند.



شکل ۱۶. موقعیت سنگهای نفوذی نوع I شمال شرق کاشمر در نمودار  $(^{143}\text{Nd}/^{144}\text{Nd})\text{i}$  vs.  $(^{87}\text{Sr}/^{86}\text{Sr})\text{i}$ . محیط MORB، فرورانش و پوسته قاره‌ای (Zindler and Hart, 1986). سنگها در محدوده‌ای بین قلمرو فرورانش ترشیری و پوسته قاره‌ای قرار می‌گیرند.

**Fig 16.** Position of I-type intrusive rocks in northeast of Kashmar in  $(^{143}\text{Nd}/^{144}\text{Nd})\text{i}$  vs.  $(^{87}\text{Sr}/^{86}\text{Sr})\text{i}$  diagram. MORB, subduction and continental crust (Zindler and Hart, 1986). The rocks locate between Tertiary subduction and continental crust (near to subduction).

شکننده - نرم انتقالی - فشارشی تا انتقالی - کششی در زمان نفوذ گرانتوپید و کانی سازی عمل کرداند (Dallmeyer et al., 1996; Mclean and Betts, 2003 آتشفشنی - نفوذی شمال لوت بین زون Back arc سبزوار و کمان آتشفشنی - نفوذی نوع آندی ارومیه - دختر قرار دارد. براساس نظریات اخیر، فرورانش مورب صفحه اقیانوسی Back نئوتیس در کرتاسه و سنوزوئیک عامل تشکیل زون arc البرز (Asiabanza and Foden, 2012) و سبزوار (Alaminia et al., 2013) معرفی شده است. ما نیز این رخداد را عامل تشکیل زون برشی درونه - تکنار و تشکیل حوضه pull-apart در منطقه کاشمر معرفی می‌کنیم. در ائوسن، کاهش فشار و ذوب پوسته اقیانوسی فرورانش شده نئوتیس در زیر این حوضه و حرارت ناشی از صعود ماغما سبب ذوب‌بخشی گوشه لیتوسفری، صعود ماغماتیسم کالکوآلکالن تا آلکالن پتانسیم بالا تا شوшуونیتی در کاشمر شد. پرشدن و تخلیه پتانسیم بالا تا شوшуونیتی در کاشمر شد.

فرورانش مورب صفحه اقیانوسی آرام به زیر صفحه قاره‌ای در امریکای جنوبی، سبب تشکیل سامانه برشی مورب در پشت کمان ماقمایی قاره‌ای آن شده است (Sillitoe, 2003). با ادامه فرورانش، تداوم و پیشرفت در حرکات برشی سبب تشکیل حوضه‌های pull-apart شده که ذوب صفحه فرورانده در زیر این حوضه‌ها سبب تشکیل و صعود ماغما از میان پوسته قاره‌ای (آغشته‌گی) و نهایتاً ماقماتیسم با ماهیت کالکوآلکالن تا آلکالن پتانسیم بالا تا شوшуونیتی شده که همراه با مهمترین انواع ذخایر مس - طلای نوع IOCG، آهن اسکارنی و ... در دنیاست (Sillitoe, 2003). از مهمترین ذخایر مهم این کمربند می‌توان به کاندلاریا<sup>1</sup>, مانتورده<sup>2</sup> و رائول کاندستیبل<sup>3</sup> اشاره کرد. در اینجا وابستگی زمانی نزدیکی بین ذخایر مس - طلا و ماقماتیسم I و A وجود دارد (Sillitoe, 2003). ایالت‌های فلززایی که میزبان این ذخایر اصلی اند، ویژگیهای مشترکی دارند. یک وابستگی با سامانه‌های گسل اصلی بوده که به عنوان سامانه‌های برشی

از نظر دگرسانی و کانی‌سازی، بخش‌های عمیق ایالت‌های IOCG اصلی در دنیا با دگرسانی‌های سدیک-کلسیک و پتاسیک (اکتینولیت و بیوتیت گرمابی) و کانی‌سازی مگنتیت ± طلا مشخص شده‌اند (Sillitoe, 2003; Dallmeyer et al., 1996; Mclean and Betts, 2003; Orrego et al., 2000). گسترش عمودی ذخایر IOCG، حتی در بخش فوقانی بلافصل ذخایر مرکب بزرگی مانند Candelaria، ریشه‌هاشان کمتر شناخته شده است (Sillitoe, 2003). آقایان ری و دیک (Ray and Dick, 2002) استنباط کردند که یک بلوک با عرض 1/5 کیلومتر، که در زیر گسل خورده و از توف سیلیسی شده توده‌ای حاوی پیریت، سرسیت و کمی دمورتیریت (کانی تورمالین) تشکیل شده، کم عمق‌ترین رخساره‌های دگرسانی اندیس IOCG به نام پروداکتورا<sup>1</sup> در منطقه کاندلاریا را نشان می‌دهند. این پیشنهاد با رخداد گستردۀ زون‌های وسیع دگرسانی تخریب پیریتی فلدسپار که به‌طور محلی تواليهای آتش‌فشاری را در سرتاسر کمربند ساحلی کوردیلرا<sup>2</sup> شیلی و پرو تحت تأثیر قرار داده است، سازگار است. در این جا دگرسانی سیلیسی همراه با سرسیتی و/یا آرژیلیک پیشرفتۀ نیز عموماً به ثبت رسیده است. ویژگیهای دگرسانی و کانی‌سازی در محدوده مطالعاتی هیچ‌گونه شباهتی با دگرسانی و کانی‌سازی شاخص مناطق عمیق ندارد اما در مجاورت محدود مطالعاتی، کانسار تنورجه با کانی‌سازی مگنتیت طladar و در سطح توپوگرافی پایین‌تر از منطقه مطالعاتی، دارای ویژگیهای بخش‌های عمیق ذخایر IOCG است. در تنورجه کوارتزهای طلا به صورت رگه‌ای، رگه‌چهای و پراکنده در توده مگنتیتی با سنگ میزبان گرانیتی وجود دارند (Karimpour, 2006) و دگرسانی مناطق عمیق ذخایر IOCG (دگرسانی پتاسیک (بیوتیت گرمابی) و نیز دگرسانی آرژیلیک پیشرفتۀ سیلیسی سرسیتیک را شاهد هستیم اما هیچ خبری از رگه‌های IOCG غنی از اسپیکیولاریت مشابه با کمرمرد نیست. دگرسانی در مناطق بهاریه، اوج پلنگ سرسفیدال منطقه کاشمر مشابه با اندیس IOCG پروداکتورا در کاندلاریا است. سنگ میزبان (گرانیت‌بیودها)، دگرسانی و تراز ارتفاعی در مناطق بهاریه، اوج پلنگ شباهتهای زیادی با کانسار مگنتیت طladar تنورجه (Karimpour, 2006) در شمال‌غرب منطقه دارد ولی از نظر تراز ارتفاعی اندکی بالاتر (تقريباً بين 100 تا 150 متر) از تنورجه است.

متناوب مخزن ماقمایی در زیر حوضه pull-apart، سبب ضربانهای ماقمایی اکسیدان و کشش پوستهای محلی سبب کاهش ناگهانی فشار در پوسته، ذوب آن و نفوذ ماقمای احیایی شد. نفوذ مجدد یک ماقمای مافیک جدید با رخنمون سطحی دسته‌دایک‌های موازی، عامل دگرسانی و کانی‌سازی در منطقه کاشمر شد.

براساس مطالعات ساختاری، دگرسانی (پردازش تصاویر ماهواره Aster، مقاطع میکروسکوپی و صحرایی) و کانی‌سازی (ژئوشیمی رگه‌های سیلیسی کانه‌دار) صورت گرفته در این پژوهش، دگرسانی و کانی‌سازی در منطقه کاشمر به دو دسته تقسیم می‌شود: دگرسانی اولیه (شامل آرژیلیک پیشرفتۀ + سرسیتی + سیلیسی) و دگرسانی تأخیری (کربناتی - اکسید آهن - سیلیسی - اپیدوتی - کلریتی - سرسیتی - باریت) که اولی با کانی‌سازی رگه‌های سولفید فلزات پایه (کالکوپیریت+پیریت+ گالن ± کوارتز ± کلریت) و دومی با کانی‌سازی IOCG (اسپیکیولاریت+کالکوپیریت+پیریت ± گالن ± اسفالریت ± باریت ± سیدریت و دیگر کانی‌ها) همراه است. از ویژگیهای بارز دگرسانی اولیه می‌توان به رخداد وسیع کلاهکهای سیلیسی و زون‌های آرژیلیک پیشرفتۀ در محل تجمع محلول گرمابی (نقاط تلاقی گسل درونه با گسلهای فرعی) اشاره کرد که با کانی‌سازی رگه‌های سولفید فلزات پایه در ارتباط است. مناطق بهاریه، اوج پلنگ و سرسفیدال بر این نقاط منطبقند. در بخش‌های نزدیک به گسل درونه بعضًا شکستگیهای موجود در توده‌های نفوذی با تورمالین (دمورتیریت) ± کلریت پر شده است. دگرسانی تأخیری همراه با رویداد وسیع رگه‌های IOCG و یک مورد برش گرمابی - گسلی در کمرمرد رخ داده است. سنگ میزبان برش داسیت و توده نفوذی کوارتز دیوریتی بوده و قطعات برش از سنگ میزبان و قطعات کوارتز درشت و ریز زاویه‌دار تشکیل شده که با سیمان غالباً سیلیسی و جزئی سیدریت که در آن مقادیر کمی اسپیکیولاریت ± دانه‌های خیلی کم مگنتیت وجود دارد، بهم چسبیده شده‌اند. داده‌های ژئوشیمیایی رگه‌ها نشان‌دهنده بی‌هنجری عناصر مس، سرب، روی در هر دو سری رگه (< 1 درصد) و بی‌هنجری طلا فقط در رگه‌های IOCG (تا حداقل 15 پی‌پی‌ام)، مقادیر بالای منگنز در هر دو سری و باریم در رگه‌های IOCG است، که به‌همراه کانی اسپیکیولاریت گویای شرایط فوق اکسیدان برای رگه‌های IOCG است.

تنورجه مواد شویم، شواهد صحرایی و میکروسکوپی نیز نشان‌دهنده جوانتر بودن رگه‌های IOCG نسبت به مجموعه دگرسانی و کانی‌سازی رگه‌های سولفید فلزات پایه در بهاریه- اوج پلنگ است (قطع شدن دگرسانیهای آرژیلیک پیشرفته و سیلیسی- سرسیتی بهاریه- اوج پلنگ با رگه‌چه‌های کوارتز غنی اسپیکیولاریت و رگه‌چه‌های تأخیری حاوی کوارتز- کلریت- کربنات شبیه آنچه در کمرمرد دیده شده است). لذا باید گفت که کانی‌سازی IOCG کمرمرد جوانتر از مجموعه دگرسانی- کانی‌سازی بهاریه، اوج پلنگ است، لکن فرسایش سبب از بین رفت رگه‌های IOCG در مناطق بهاریه، اوج- پلنگ و سرسفیدال شده است. در نهایت با توجه به پاراژنز کانیایی و خصوصاً نتایج تجزیه رگه‌ها (غنى‌شدگی نسبی عناصر فلزی پایه در هر دو سری رگه، نبود غنى‌شدگی طلا در رگه‌های سولفید فلزات پایه در مناطق بهاریه- اوج پلنگ و برعکس غنى‌شدگی طلا در رگه‌های IOCG کمرمرد و نیز مقادیر بالای منگنز در هر دو سری رگه و غنى‌شدگی بیشتر منگنز و نیز باریم در رگه‌های IOCG نسبت به رگه‌های سولفید فلزات پایه)، باید گفت که در مناطق بهاریه- اوج پلنگ مشابه با تنورجه، احتمالاً محلول آهن‌دار اکسیدان (مگنتیت)، بخشی از طلا را در عمق همراه با مگنتیت بهجا گذاشته است. طی یک چرخش مجدد محلول گرمابی آهن‌دار فوق اکسیدان جدید بخشی از طلا و عناصری مانند آهن، باریم و منگنز مجدداً حمل شده و در رگه‌های IOCG منطقه بهصورت طلای همراه با اسپیکیولاریت+باریت+منگنز و دیگر کانیهای غنى شده است. رگه‌های IOCG مناطق بهاریه- اوج- پلنگ بر اثر فرسایش از بین رفته‌اند.

با توجه به همه شواهد ناحیه‌ای و شواهد موجود در محدوده مطالعاتی (سیستم زون برشی در پشت کمان ماغماتی قاره‌ای مرتبط با فرورانش مورب، رخداد ماغماتیسم شاخص کالکوآلکالن تا آلکالن پتاسیم بالا تا شوشونیتی نوع I و A، وجود دگرسانی‌های شاخص بخش‌های فوقانی ذخایر IOCG و کانی‌سازی رگه‌ای IOCG)، مدل کانی‌سازی در منطقه شمال- شرق کاشمر طلا- مس نوع IOCG معرفی می‌شود.

سرسفیدال از نظر سطح فرسایش کنونی در سطح ترازی بین کمرمرد و بهاریه- اوج پلنگ قرار دارد و هر دوی سنگهای آتشفسانی و گرانیتوییدها سنگ میزبان کانی‌سازی هستند. از طرفی رگه‌های IOCG از نظر فراوانی در کمرمرد بیشترین تعداد، در سرسفیدال کمتر و در بهاریه- اوج پلنگ، به استثنای یک رگه، اصلاً وجود ندارد. منطقه کمرمرد در تراز ارتفاعی بالاتری نسبت به مناطق بهاریه، اوج پلنگ سرسفیدال قرار دارد. کانی‌سازی، سنگ میزبان (سنگهای آتشفسانی) و دگرسانی و تراز ارتفاعی منطقه کمرمرد کاملاً مشابه با کانسار Mazloomi Bajestani, (2009) است که در شرق کمرمرد قرار دارد. بر طبق این شواهد، ما کمرمرد را معادل سطح تراز قدیمی منطقه فرض کرده و سطح کنونی در بهاریه- اوج پلنگ را حاصل فرسایش می‌دانیم. مطالعه سیالات در گیر در مگنتیت طladar تنورجه نشان‌دهنده دماها (200 تا بیش از 500 درجه سانتی‌گراد) و شوری‌های (تا 45 درصد وزنی NaCl) نسبتاً بالا تا بالایی است (Ajayebi, 2009). مطالعات دماسنجدی سیالات در گیر رگه‌های سیلیسی کانه‌دار در کوهز (Mazloomi Bajestani, 2009) و دماسنجدی و شوری در کمرمرد، سرسفیدال، بهاریه و اوج پلنگ (Almasi, 2015) نشان می‌دهد که سیالات در کوهز دماهای 230 تا 460 درجه سانتی‌گراد و در کمرمرد، سرسفیدال، بهاریه و اوج پلنگ دماهای 240 تا 340 درجه سانتی‌گراد و شوری‌های 14 تا 17/6 (درصد وزنی NaCl) دارند. لذا ما معتقدیم که سطح حاضر دگرسانی و کانی‌سازی در مناطق بهاریه، اوج پلنگ مشابه با تنورجه اما کمی بالاتر از آن و کمرمرد مشابه با کوهز است و به ترتیب مربوط به بخش‌های متوسط- نیمه عمیق و سطحی‌ترین بخش یک سیستم IOCG هستند. سرسفیدال شواهد گذر تدریجی بین این دو را دارد، زیرا هم دگرسانیهای مشابه با بهاریه- اوج پلنگ و هم رگه‌های IOCG مشابه با کمرمرد را دارد. شواهد دیگری چون نبود کوارتز حفره‌دار در کلاهکهای سیلیسی مناطق بهاریه، سرسفیدال و اوج پلنگ، این ادعا را تقویت می‌کند. لذا انتظار داریم با افزایش عمق در مناطق بهاریه، اوج پلنگ و سرسفیدال با توده‌های مگنتیت طladar مشابه با

**References**

- Abdi, M. and Karimpour, M.H., 2012. Geology, alteration, mineralization, petrogenesis, dating, geochemistry and Airborne geophysics of Koooh-shah area, southwest of Birjand. *Journal of Economic Geology*, 1(4): 77-107. (in Persian)
- Afsharharb, A., Aghanabati, A. and Majdi, B., 1987. Geological map of Mashhad, scale 1:250000. Geological Survey of Iran, Tehran.
- Aghanabati, A., 1995. Geology of Iran. Geological Survey of Iran, Iran, 606 pp.
- Ajayebi, K.S., 2009. Nature of fluid inclusions at Calcalkaline in Tanourjeh Cu-Au mineralization (North of Kashmar). *Journal of Geology of Iran*, 2(8): 55-69 pp. (in Persian)
- Alaminia, Z., Karimpour, M.H., Homam, S.M. and Finger, F., 2013. The magmatic record in the Arghash region (northeast Iran) and tectonic implications. *International Journal of Earth Sciences*, 102(3): 873–887.
- Almasi, A., 2015. Mineralizaion, Petrogenesis and geochemical-geophysical exploration in Uch Palang- Sarsefidal area (Northeast of Kashmar). Ph.D. Thesis, University of Ferdowsi, Mashhad, Iran. (unpublished)
- Arjmandzadeh, R., Karimpour, M.H., Mazaheri, S.A., Santos, J.F., Medina, J.M. and Homam, S.M., 2011. Two-sided asymmetric subduction; implications for tectonomagmatic and metallogenic evolution of the Lut Block, eastern Iran. *Journal of Economic Geology*, 1(3): 1-14.
- Asiabaha, A. and Foden, J., 2012. Post-collisional transition from an extensional volcano-sedimentary basin to a continental arc in the Alborz Ranges, N-Iran. *Lithos*, 148: 98-111.
- Behroozi A., 1988. Geological map of Feyzabad , scale 1:100000, Geological Survey of Iran, Tehran.
- Boomeri, M., 1998. Petrography and Geochemistry of the Sangan Iron Skarn Deposit and Related Igneous Rocks, Northeastern Iran. Ph.D. thesis, Akita University, Akita, Japan, 226 pp.
- Brookins, D.G., 1988. Eh-Ph diagrams for geochemistry. Springer-Verlag, University of Michigan, New York, 176 pp.
- Camp, V. and Griffis, R., 1983. Character, genesis and tectonic setting of igneous rocks in the Sistan suture zone, eastern Iran. *Lithos*, 15: 221-239.
- Connolly, P. and Cosgrove, j., 1999. Prediction of static and dynamic fluid pathways within and around dilational jogs. Imperial College of Science, London, 255 pp.
- Dallmeyer, R.D., Brown, M., Grocott, J., Taylor, G.K. and Treloar, P.J., 1996. Mesozoic magmatic and tectonic events within the Andean plate boundary zone, 26°–27° 30' S, north Chile: constraints from  $^{40}\text{Ar}/^{39}\text{Ar}$  mineral ages. *Journal of Geology*, 104(1): 19–40.
- Eftekhanezhad, J., Aghanabati, A. and Hamzehpour, A., 1974. Geological map of Sabzevar, scale 1:250000, Geological Survey of Iran.
- Golmohammadi, A., Karimpour, M.H., Malekzadeh shafaroudi, A. and Mazaheri, S.A., 2013. petrology and U-Pb Zircon dating in intrusive bodies in A, southern C and Dardvay area, Khaf Sangan iron ore body. *Journal of Economic Geology*, 2(5): 155-174. (in Persian)
- Haji, E., 2009. Structural and Fractal analysis of fractures systems of Taknar of central iran by use of remote sensing and field study data. M.Sc. Thesis, Damghan University, Damghan, Iran, 145 pp.
- Karimpour, M.H., 2006. Cu-Au mineralizaion accompany with magnetite- spcullarite (IOCG) and examples in Iran. 9<sup>th</sup> Iranian geology society conference, University of Tarbiat Moalleh, Tehran, Iran.
- Karimpour, M.H., Malekzadeh shafaroudi, A., Farmer, L. and Stern, Ch., 2012. Granitoids petrogenesis, U-Pb Zircon dating, Sr-Nd isotope geochemistry and important Tertiary mineralization occurrence in Lut block, east of Iran. *Journal of Economic Geology*, 1(4): 1-27. (in Persian)
- Karimpour, M.H., Malekzadeh shafaroudi, A., Moradi, M., Farmer, L. and Stern, Ch., 2013. Geology, Mineralization, Rb-Sr and Sm-Nd isotope geochemistry, U-Pb dating of intrusive bodies related to Cretaceous mineralization of Kalateh- ahani area, southwest of Gonabad. *Journal of Economic Geolog*, 2(5): 267-290. (in Persian)
- Malekzadeh Shafaroudi, A. and Karimpour, M.H., 2011.U-Pb Zircon dating in Maher abad porphyry area: evidence on period of middle Eocene metallogenic porphyry ore bodies in east of Iran. *Journal of Economic Geology*, 1(3): 41-60. (in Persian)

- Mazloomi Bajestani, A., 2009. Mineralization, Geochemistry and Au-W mineralization in Koh e Zar of Torbat e Heydarieh area. Ph.D. Thesis, Shahid Beheshti University, Tehran, Iran, 291 pp.
- McLean, M.A. and Betts, P.G., 2003. Geophysical constraints of shear zones and geometry of the Hiltaba Suite granites in the western Gawler craton, Australia. Australian Journal of Earth Sciences, 3(50): 525–541.
- Muller, R. and Walter, R., 1983. Geology of the Precambrian-Paleozoic Taknar Inlier northwest of Kashmar, Khorasan Province northeast Iran. Geological Survey of Iran, Tehran, Report 50, 252 pp.
- Naderi Mighan, N. and Torshizian, H., 1999. Geological map of Kadkan , scale 1:100000. Geological Survey of Iran (1999).
- Orrego, M., Robles, W., Sanhueza, A., Zamora R. and Infanta, J., 2000. Mantos Blancos y Mantoverde: depo' sitos del tipo Fe-Cu-Au? Una comparacio'n con implicancias en la exploracio'n. Actas 9<sup>th</sup> Congress Geology Chileno, 6(2): 145–149.
- Price, N.J. and Cosgrove, J.W., 1990. Analysis of geological structures. Cambridge University Press, Cambridge, 502 pp.
- Ray, G.E. and Dick, L.A., 2002. The Productora prospect in north-central Chile: An example of an intrusion-related Candelaria type Fe-Cu-Au hydrothermal system. Porter GeoConsultancy Publishing, Adelaide, 2:131–151.
- Sahandi, M.R. and Hoseini, M., 1990. Geological map of Sabzevar, scale 1:100000. Geological Survey of Iran.
- Salati, E., Karimpour, M.H., Malekzadeh shafaroudi A., Heydarian Shahri M.R., Farmer L. and Stern Ch., 2012. U-Pb Zircon dating, Sr-Nd isotope geochemistry and oxidized granitoides petrogenesis of Keybar kooh area (southwest of Khaf). Journal of Economic Geology, 2(4): 285-301. (in Persian)
- Sillitoe, R.M., 2003. Iron oxide-copper-gold deposits: An Andean view. Mineralium Deposita, 38(7): 787–812.
- Soltani, A., 2000. Geochemistry and geochronology of I-type granitoid rocks in the northeastern Central Iran Plate. Ph.D. Thesis, University of Wollongong, Wollongong, Australia, 300 pp.
- Tarkian, M., Lotfi, M. and Baumann, A., 1983. Tectonic, magmatism and the formation of mineral deposits in central Lut, East of Iran. Geological Survey of Iran, Tehran, Report 57, 70 pp
- Tchalenko, J.S. and Braud, J., 1974. Seismicity and structure of the Zagros (Iran): The main recent fault between 33° and 35°. Philosophical Transactions of the Royal Society of London A: Mathematical, Physical and Engineering Sciences 227, London, 1262 pp.
- Tirrul, R., Bell, I.R., Griffis, R.J. and Camp, V.E., 1983. The Sistan suture zone of eastern iran. Geological Society American Bulltin, 94(1): 134-150.
- Vaezipour, M.J., Alavi tehrani, M.J. and Behroozi, A., 1993. Geological map of Torbat e Heydariyeh, scale 1:250000. Geological Survey of Iran.
- Zindler, A. and Hart, S.R., 1986. Chemical geodynamics. Anniversary Review Earth Planetary Sciences, 9(14): 493- 571.



## Geology, mineralization, U-Pb dating and Sr-Nd isotope geochemistry of intrusive bodies in northeast of Kashmar

Alireza Almasi<sup>1</sup>, Mohammad Hassan Karimpour<sup>1\*</sup>, Khosrow Ebrahimi Nasrabadi<sup>1</sup>, Behnam Rahimi<sup>1</sup>, Urs KlÖtzli<sup>2</sup> and Jose Francisco Santos<sup>3</sup>

1) Department of Geology, Ferdowsi University of Mashhad, Mashhad, Iran

2) Department of Geology, Vienna University, Austria

3) Department of Geology, Aveiro University, Portugal

Submitted: Dec. 23, 2014

Accepted: May 9, 2015

**Keywords:** Shear zone, I/A type magmatism, U-Pb Zircon Dating, Sr-Nd isotopes, IOCG, Subduction

### Introduction

The study area is located in central part of the Khaf-Kashmar-Bardeskan belt which is volcano-plutonic belt at the north of the Dorouneh fault in the north of Lut block. The north of the Lut block is affected by tectonic rotation and subduction processes which occur in the east of Iran (Tirrul et al., 1983). The magmatism of Lut block begins in Jurassic and continues in Tertiary (Aghanabati, 1995). Karimpour (Karimpour, 2006) pointed out the Khaf-Kashmar-Bardeskan belt has significant potential for IOCG type mineralization such as Kuh-e-Zar, Tannurjeh, and Sangan (Karimpour, 2006; Mazloumi, 2009). The data gathered on the I-type intrusive rocks include their field geology, petrography, U-Pb zircon dating and Sr-Nd isotope and also alteration and mineralization in the study area.

### Materials and methods

- Preparation of 150 thin sections of rock samples for study of petrography and alteration of the intrusive rocks.
- Magnetic susceptibility measuring of intrusive rocks.
- U-Pb dating in zircon of I-type intrusive rocks by Laser-Ablation Multi Collector ICP-MS method.
- Sr-Nd analysis on 5 samples of I-type intrusive rocks by Multi-Collector Thermal Ionization Mass Spectrometer (TIMS) VG Sector 54 instrument.
- Mineralography and paragenetic studies of ore-bearing quartz veins and geochemical analysis for 28 samples.
- Production of the geology, alteration and mineralization maps by scale: 1:20000 in GIS.

### Results

Oblique subduction in southern America initiated an arc-parallel fault and shear zones in the back of

continental magmatic arc (Sillitoe, 2003). Because of this event, pull-apart basins were formed and high-K to shoshonitic calc-alkaline I- and A-type magmatism occur (Sillitoe, 2003). Most important deposits accompany with this magmatism are Au-Cu deposits types and Fe-Skarns (Sillitoe, 2003). We have similar scenario to Neotethys subduction. Khaf-Kashmar-Bardeskan volcano-plutonic belt is located between Neotethys suture and Alborz-Sabzevar Back-arc (Asiabanza and Foden, 2012). We suggest Khaf-Kashmar-Bardeskan volcano-plutonic belt forms at the arc-parallel fault and shear zones in the back of continental magmatic arc. In the basis of all evidences (Shear zone system, high-K to shoshonitic calc-alkaline I- and A-type magmatism, typical alterations related to upper zones of IOCG deposits and IOCG mineralization), we suggest IOCG (Au-Cu) mineralization in Kashmar.

### Discussion

On the basis of former regional (Muller and Walter, 1983) and local structural studies (this research), regional compression causes sinistral strike-slip movements of Dorouneh and Taknar faults, shear zone, pull-apart and Riedel fractures (P, R and R' types) in the study area. These events cause magma intrusion and circulation of hydrothermal fluids. On the basis of geology, geochemistry and magnetic susceptibility measuring of intrusive rocks, several high K to shoshonitic calc-alkaline to alkaline I-type and one A-type intrusive rocks are intruded in Kashmar area. Swarm dykes are the youngest and the agent for alteration and mineralization. U-Pb dating related to quartz monzonite body (preventative sample for I-type intrusive rocks which are older than A-type series) show 40 Ma (Middle Eocene) for this rock group in Kashmar.

The mean of initial  $^{87}\text{Sr}/^{86}\text{Sr}$  and  $^{143}\text{Nd}/^{144}\text{Nd}$  are 0.705-0.707 and 0.5135-0.5126 for I-type series, respectively.  $\epsilon_{\text{Nd(i)}}$  amounts for I-type series are in negative to positive limit ranges (-1.65 to 1.33). These amounts show subduction source with contamination to continental crust.

Two type alteration and mineralization occur in Kashmar: 1) primary alterations (advanced argillic+ sericite+ silicification) which are synchronous with sulfide base-metal veins (chalcopyrite+ pyrite± galena± quartz± chloride) and 2) Lateral alterations (carbonatization+ Fe-oxides+ silicification+ epidotization+ chloride+ sericite+ barite) which are synchronous with IOCG veins (specularite+ chalcopyrite+ pyrite± galena± sphalerite± barite± siderite ± etc.). Primary centralized and sulfide base-metal veins in crosscutting points between Dorouneh fault and minor faults. Bahariyeh, Uchpalang and Sarsefidal areas are located in these crosscutting points. Tourmaline (demorterite) ±chloride fill the fractures in the intrusive rocks of southern part of area next to the Dorouneh fault occasionally. Lateral alteration synchronous with IOCG veins occur in Kamarmard area. Geochemical data of all veins show Cu, Pb, Zn anomalies (>1%) in two type veins, Au anomalies (to about 15 ppm) only in IOCG veins, Mn anomalies in two type veins and Ba anomalies in IOCG veins.

Alteration and mineralization in the world-class IOCG deposits identified by sodic-calcic and potassic (hydrothermal actinolite and biotite) and magnetite± gold in deep parts (Sillitoe, 2003) and advanced argillic+ pyrite+ sericite+ tourmaline (demorterite) in shallow parts (Ray and Dick, 2002). Generally, alteration in the study area is similar to shallow parts of world-class IOCG deposits. Tanourjeh is a IOCG deposit next to the northwest of the study area. In Tanourjeh, the gold-bearing magnetite is synchronous to potassic alteration (hydrothermal biotite) and other alterations are advanced argillic, silicification and sericite. These characteristics are similar to deep parts of world-class IOCG deposits. Bahariyeh, Uchpalang and Sarsefidal have similarities to alterations in Tanourjeh. Considering Tanourjeh lie in the lower level rather to Bahariyeh, Uchpalang and Sarsefidal, we believe they erosion surface in Tanourjeh is lower. Kamarmard lies in the highest erosion surface in the study area. Alterations and Mineralization as similar to Kuh e Zar IOCG deposit (specularite+chalcopyrite+gold) which is next to the

Kamarmard area in Northeast of study area. In Bahariyeh-Uchpalang areas we can see only one IOCG vein but in Sarsefidal area exist several IOCG vein. Because of current surface in Bahariyeh-Uchpalang areas is lower than Sarsefidal current surface in Sarsefidal is lower than Kamarmard, we believe that IOCG vein in Bahariyeh-Uchpalang area have been eroded. We Believe to two circulation of oxidized Fe-bearing hydrothermal fluid in Kashmar. During the first circulation, Potassic alteration and gold-bearing magnetite bodies in depth and primary alterations with sulfide base-metal veins was formed. At the second circulation, lateral alterations and IOCG veins was formed at the near of paleo-surface.

## References

- Aghanabati, A., 1995. Geology of Iran. Geological Survey of Iran, Iran, 606 pp.
- Asiabana, A. and Foden, J., 2012. Post-collisional transition from an extensional volcano-sedimentary basin to a continental arc in the Alborz Ranges, N-Iran. *Lithos*, 148: 98-111.
- Karimpour, M.H., 2006. Cu-Au mineralization accompany with magnetite-specularite (IOCG) and examples in Iran. 9<sup>th</sup> Geological Society of Iran Conference, Tarbiat Moalleem University, Tehran, Iran.
- Mazloomi Bajestani, A., 2009. Mineralization, Geochemistry and Au-W mineralization in Koh e Zar of Torbat e Heydarieh area. Ph.D. Thesis, University of Shahid Beheshti, Tehran, Iran, 291 pp.
- Muller, R. and Walter, R., 1983. Geology of the Precambrian-Paleozoic Taknar inlier, northwest of Kashmar, Khorasan province, northeast Iran. Geological Survey of Iran, Tehran, Report 50, 252 pp.
- Ray, G.E. and Dick, L.A., 2002. The Productora prospect in north-central Chile: An example of an intrusion-related Candelaria type Fe-Cu-Au hydrothermal system. Porter GeoConsultancy Publishing, Adelaide, 2:131-151.
- Sillitoe, R.M., 2003. Iron oxide-copper-gold deposits: An Andean view. *Mineralium Deposita*, 38(7): 787-812.
- Tirrul, R., Bell, I.R., Griffis, R.J. and Camp, V.E., 1983. The Sistan suture zone of eastern Iran. *Geological Society of America Bulletin*, 94(1): 134-150.